

วารสารชีวผลิตภัณฑ์

ปีที่ 3 เล่มที่ 1 มีนาคม 2535

The Journal of Veterinary Biologics Vol.3 No.1 March 1992

- * การตรวจหาระยะของความคุ้มโรค ของกาฬโรคเบ็ด (ในท้องที่).....1
- * Preliminary survey of antibodies to artropod - borne viruses in cattle in the central part of Thailand.....4
- * ความสัมพันธ์ของการเกิดปฏิกิริยาสังเคราะห์ ของสารในกลุ่ม Aziridine (Binary ethylenimine) ในระยะเวลา และอุณหภูมิต่างๆกัน.....11
- * ผลผลิตไวรัสโรคปากและเท้าเปื่อย โดยการทดลองใช้ไวรัสชนิดบริสุทธิ์ และ เข้มข้นเป็น inoculum.....17
- * การผลิตบรูเซลล่าแอนติเจน โดยใช้เครื่องเฟอร์เมนเตอร์.....21
- * ศึกษาการผลิตวัคซีนบรูเซลโลซิส ชนิดลดโคสต์.....24
- * การศึกษาเปรียบเทียบประสิทธิภาพของวัคซีนไข้มาลาเรีย ในแกะ และ สัตว์ทดลอง ขนาดเล็ก.....27
- * การวัดหาปริมาณ 140 - S อนุภาคสมบูรณ์ ของไวรัสโรคปากและเท้าเปื่อย31
- * การปรับปรุงวิธีหาปริมาณ 140 - เอส พาร์ทิเคิล ของไวรัสโรคปากและเท้าเปื่อย โดยวิธี ซูโครสเดนซิตีเกรเดียน.....42

เอกสารเผยแพร่ทางวิชาการของกองผลิตชีวภัณฑ์ กรมปศุสัตว์

ISSN 0858-1134

วารสารชีวสัตววิทยา

วารสารชีวสัตววิทยา

1. วิทยานิพนธ์ (Technical papers)
2. บทความ (Articles)

การเตรียมต้นฉบับ

1. ขนาดกระดาษ 25 เซนติเมตร x 11 เซนติเมตร

2. จำนวนหน้า 1-2 หน้า



คณะสัตวแพทยศาสตร์
จุฬาลงกรณ์มหาวิทยาลัย



๑ เมษายน ๒๕๓๕

วารสารชีวผลิตภัณฑ์

บรรณาธิการ
บรรณาธิการผู้ช่วย
กองบรรณาธิการ

แอบ คงทน
พยนต์ สินสว่างวัฒน์
เชิงชาย จันทรัมย์
บัญชา ลิขิตเดชาโรจน์
โสภณ ท้วมแสง
สมใจ กมลศิริพิชัยพร
เต็มพล รัตนวงศ์

สำนักงาน

กองผลิตภัณฑ์ กรมปศุสัตว์ พญาไท
กรุงเทพฯ

วัตถุประสงค์

1. เพื่อเผยแพร่งานวิชาการ ด้านการ
ผลิตชีวภัณฑ์

2. เพื่อเผยแพร่ความรู้ ความเข้าใจ
เกี่ยวกับใช้วัคซีนป้องกันโรคสัตว์

กำหนดออก

ปีละ 2 ฉบับ คือ เดือน มีนาคม และ
เดือน กันยายน

THE JOURNAL OF VETERINARY BIOLOGICS

Editor in chief
Assistance Editor
Editorial Board

Ab Kongthon
Payont Sinsuwonkwat
Cherngchai Chuntarasmi
Banchon Likitdecharoj
Sophon Tuamsang
Somjai Kamolsiripichaiporn
Dermopol Ratanawonk

Business Office

Division of Veterinary
Biologics Phayathai Bangkok
Thailand

The Journal of Veterinary Biologics is a publication of the Division of Veterinary Biologics, Department of Livestock Development intended to make available the results of technical work in the veterinary biological science. The Journal of Veterinary Biologics edition is issued 2 times per year, in March and September

5.6.1. The following literature is cited:

5.6 Literature cited

5.5 Acknowledgement

5.4.4. The following literature is cited:

5.4.3. The following literature is cited:

5.4.2. The following literature is cited:

5.4.1. The following literature is cited:

5.4 Discussion

5.3 Results

5.2.2. The following literature is cited:

5.2.1. The following literature is cited:

5.2 Materials and Methods

5.1 Introduction

5.1.1. The following literature is cited:

5.1.2. The following literature is cited:

4. Abstract

3. References

2. Bibliography

1. Summary

1. Summary

1. Summary

2. Articles

1. Technical papers

2. References

1. Summary

1. Summary

1. **Introduction**

1977-1978 (1977-1978)

1977-1978 (1977-1978)

2. **Methodology**

1977-1978 (1977-1978)

1977-1978 (1977-1978)

1977-1978 (1977-1978)

1977-1978 (1977-1978)

3. **Results**

1977-1978 (1977-1978)

1977-1978 (1977-1978)

1977-1978 (1977-1978)

4. **Discussion**

1977-1978 (1977-1978)

1977-1978 (1977-1978)

1977-1978 (1977-1978)

1977-1978 (1977-1978)

1977-1978 (1977-1978)

1977-1978 (1977-1978)

1977-1978 (1977-1978)

1977-1978 (1977-1978)

1977-1978 (1977-1978)

1977-1978 (1977-1978)

1977-1978 (1977-1978)

1977-1978 (1977-1978)

1977-1978 (1977-1978)

1977-1978 (1977-1978)

1977-1978 (1977-1978)

1977-1978 (1977-1978)

1977-1978 (1977-1978)

1977-1978 (1977-1978)

การตรวจหาระยะของความคุ้มโรค

ของวัคซีนกาฬโรคเป็ด (ในท้องที่)

DURATION OF IMMUNITY OF DUCK PLAGUE VACCINE (FIELD SURVEY)

โสภณ ท้วมแสง¹ สุวรรณ ท้วมแสง¹ วิมล ปริญกน¹

Sopon Tuamsang Suwonee Tuamsang Wimon Pariyakanok

ABSTRACT

The potency of duck plague vaccine was studied in field trial (Chonburi province). Ducks at 3 months of age were injected with field dose of vaccine intramuscularly and then challenged with virulent duck plague virus for 8 monthly intervals. The result showed that the immunity of vaccinated ducks against duck plague virus last for six months.

บทคัดย่อ

จากการศึกษาประสิทธิภาพของวัคซีนกาฬโรคเป็ดในท้องที่ (จังหวัดชลบุรี) พบว่าเป็ดที่ฉีดวัคซีนกาฬโรคเป็ดเพียงครั้งเดียว แล้วนำมาฉีดเชื้อพิษทวนหลังจากฉีดวัคซีนทุก ๆ เดือน พบว่าเป็ดมีอัตราการให้ความคุ้มโรคได้ถึงเดือนที่ 6

คำนำ

ในปัจจุบันเกษตรกรมีการเลี้ยงเป็ดมากขึ้น ทำให้อัตราการไข่คุ้มป้องกันโรคระบาดมีมากขึ้น วัคซีนกาฬโรคเป็ดเป็นวัคซีนชนิดหนึ่งที่มีอนันานำมาใช้ป้องกันโรคระบาดในท้องที่ สามปกติการไข่คุ้มชนิดนี้จะทำารกระตุ้นซ้ำทุก ๆ 6 เดือน แต่ในบางครั้งการไข่คุ้มชนิดนี้ไม่ถูกต้องตามที่กำหนดถ้าใช้กระตุ้นซ้ำเมื่อยังไม่ครบกำหนดการฉีดในครั้งต่อไป ทำให้สิ้นเปลืองค่าใช้จ่าย เมื่อนั้นการผลิตในโรงงาน สุวรรณ และคณะ (2533) ได้ศึกษาพบว่าจากการทดลองตรวจหาระยะความคุ้มโรคของวัคซีนกาฬโรคเป็ดในท้องที่ผู้ปลูกการที่ผสมผลชั่ววงษ์ เป็ดที่ฉีดวัคซีนเพียงครั้งเดียวสามารถมีอัตราการให้ความคุ้มโรคได้ถึงเดือนที่ 18 เมื่อนำมาฉีดเชื้อพิษทวน ดังนั้นจึงได้ทำการทดลองนี้ขึ้นมา เพื่อศึกษาอัตราการให้ความคุ้มโรคในเป็ดท้องที่ที่มีสภาพแวดล้อมที่แตกต่างจากท้องที่ผู้ปลูกการ ว่าสามารถสร้างภูมิคุ้มโรคได้ถึงเดือน เมื่อฉีดวัคซีนเพียงครั้งเดียว

อุปกรณ์และวิธีการ

วัสดุและอุปกรณ์

1. วัคซีนกาฬโรคเป็ด ชนิดเชื้อเป็นผลิตขึ้นจากศูนย์ผลิตวัคซีน มี Virus titer $10^{4.5}$ TCID₅₀ ล้อมลิลลิตร เป็นวัคซีนที่ผ่านการทดสอบคุณภาพและผลิตออกใช้ ในท้องที่
2. ไวรัสเชื้อพิษกาฬโรคเป็ดชนิดท้องที่ (Local strain) ซึ่งเก็บมาจากจังหวัดชลบุรี และนำมาหาค่า Virus titer ในเป็ด
3. เป็ดไม่จำกัดเพศหรืออายุประมาณ 3 เดือนจำนวน 130 ตัว เป็นเป็ดที่เลี้ยงที่ฟาร์ม ๆ หนึ่งในจังหวัดชลบุรีและไม่เคยฉีดวัคซีนกาฬโรคเป็ดมาก่อน
4. เป็ดควบคุม (Control group) จำนวน 40 ตัว เป็นเป็ดที่ผลิตขึ้นจากฝ่ายเพาะเลี้ยงสัตว์ทดลอง ศูนย์ผลิตวัคซีนที่ อำเภอบางกรวย และไม่เคยฉีดวัคซีนกาฬโรคเป็ดมาก่อน
5. เซลล์คอกเคิลไล์ อายุ 11 วัน (Chick embryo fibroblast, CEF)

¹ศูนย์ผลิตวัคซีนที่ บางกรวย กองผลิตวัคซีน กรมปศุสัตว์

ตารางที่ 2 แสดงค่า Neutralizing index (NI) และ Protection rate ของกลุ่มเป็ดหลังฉีดวัคซีน ตั้งแต่เดือนที่ 1-8

เดือนหลังฉีด	NI ก่อน challenge (X)	Protection rate (%)
1	2.8	100
2	2.7	93.33
3	1.5	93.33
4	1.7	100
5	1.84	93.33
6	1.5	86.67
7	1.5	53.33
8	1.5	53.33

เอกสารอ้างอิง

ดำรงดี ทวีแสง และสายชล จันทร์สำราญ, 2533 : การตรวจหาภาวะของภูมิคุ้มกันโรคของวัคซีนกาฬโรคเป็ด วารสารชีวผลิตภัณฑ์ 1 (1) : 1-4

Dardiri, A.H., and W.R. Hess. The incidence of neutralizing antibodies to duck plaque virus in serums from domestic ducks and wild water fowl in the United States of America Proc. 71 st Ann. Meet. U.S. Livestock Sanit. Assoc. 1967. pp. 225-237.

R.E. Gough. 1984. Laboratory confirmed outbreaks of duck virus enteritis (duck plague) in the United Kingdom from 1977 to 1982., Vet. Record. 114 : p 262-265.n

PRELIMINARY SURVEY OF ANTIBODIES TO ARTHROPOD-BORNE
VIRUSES IN CATTLE IN THE CENTRAL PART OF THAILAND

Aree Supcharoen¹ Prateep Pemayothin¹ Urasri Tantaswasdi¹

Tomiki Morimoto¹

บทคัดย่อ

ศึกษาอัตราการติดเชื้อไวรัสที่มีผลเป็นค้อนาโรค โดยการตรวจหา antibody titer ด้วยวิธี serum neutralization test และ haemagglutination test พบผลบวกของ SN titer ของ BEF 95.5% ค่าเฉลี่ย titer 11.3, HI titer ของโรค Akabane 95.5% ค่าเฉลี่ย titer 32.5, HI titer ของโรค Ibaraki 98.3% ค่าเฉลี่ย titer = 20 และ HI titer ของโรค JE พบผลบวก 21.9% และ 70% ในวัวนำเข้าและวัวพื้นเมืองตามลำดับ ผลจากการศึกษาชี้ให้เห็นว่า การระบาดของโรคไวรัสที่มีผลเป็นค้อนาโรค ในภาคกลางของประเทศไทย

ABSTRACT

The distribution of antibodies against arthropod-borne viruses such as bovine ephemeral fever (BEF), Akabane, Ibaraki, and Japanese encephalitis (JE) viruses in cattle in the central part of Thailand was examined using the serum neutralization (SN) test or the hemagglutination-inhibition (HI) test.

A positive SN antibody rate of 95.5% and geometric mean (GM) titer of 11.3 were found to BEF virus. Paired sera were obtained on August 31st and September 17th, 1990. During this period, the GM of SN titer to BEF virus increased from 8.6 to 29.9, indicating that the virus was epizootic at that time.

HI antibody against Akabane virus was detected at a positive rate of 95.5% and 32.5 GM titer. Paired sera were obtained from bovine herds affected by abortion and stillbirth, at shortly after delivery and 17 days after the first bleeding. The HI antibody titers to Akabane virus increased in 3 out of 4 of the cows that had aborted.

Distribution of HI antibody to Ibaraki virus was 98.3% and GM titer was 20, suggesting that Ibaraki virus was already present in Thailand.

Prevalence of HI antibody against JE virus was examined in cattle imported from countries where JE virus was nonenzootic. The cattle in Thailand for less than 3 weeks had scarcely any antibody to JE virus, but increased their possessive the rate of antibody to JE virus with progress of their residing in Thailand. But incidence was lower in comparison with indigenous cattle of the same province.

These results indicated the prevalence of several bovine arthropod-borne viruses in the central part of Thailand.

INTRODUCTION

The tropical climate and natural environments of Thailand are suitable for the insects inhabitation, especially mosquitoes and midges. They breed all the year round in rice fields, puddles, ponds, canals and rivers in tropics. Some species of these insects are known to transmit several viral diseases of cattle by biting as a vector.

This paper deals with a preliminary survey of antibodies against such arthropod-borne viruses in cattle in the central part of Thailand.

¹National Animal Health and Production Institute, Department of Livestock Development, Bangkok, Bangkok, 10900, Thailand

MATERIALS AND METHODS

Viruses : The viruses examined in these experiments are listed in Table 1. In this table, classification and nomenclature, diseases in cattle, and vectors of these viruses are also included for reference.

Serum samples : Serum samples were obtained from the central part of Thailand during 1989 and 1990, from herds in which unidentified diseases occurred. They were brought to the National Animal Health and Production institute (NAHPI) for examination and diagnosis. All serum samples were kept at -20°C. until examination.

Serum neutralization (SN) test : The SN test of bovine ephemeral fever (BEF) virus was carried out using the serum dilution and constant virus amount method. All sera were inactivated at 56°C. for 30 minutes and serial two-fold serum dilutions were mixed with equal volumes of virus suspension containing about 200 TCID₅₀ of YHL strain of BEF virus (Inaba et al. 1968). The mixtures were incubated at 37°C. for 60 minutes and inoculated in cell cultures of HmLu-1, an established baby hamster lung cell line. After incubation at 37°C. for 7 days in a CO₂ incubator, the inhibition of cytopathic effect was observed and 50% SN titer was calculated.

Hemagglutination-inhibition (HI) test : The HI test of Akabane virus was carried out using a commercial diagnostic kit by the method of Goto et al. (1978). The principle of this method is the same as that of Clark and Casals (1958) but some modifications were made by using a diluent with 0.4 M NaCl, and 0.2 M phosphate at pH 6.0 to 6.2.

The HI test of Ibaraki virus was performed with a commercial diagnostic kit according to the method of Tokuhisa et al. (1983) using cattle erythrocytes and a diluent with 0.6 M NaCl, and 0.2 M phosphate at pH 7.5.

Table 1 - Classification and nomenclature of arthropod borne viruses examined in this experiments.

Family	Virus		Diseases in cattle	Vector
	Genus	Species		
Rhabdoviridae	Ungrouped	Ephemeral fever virus	Fever, anorexia, depression, nasal discharge, Stiffness, lameness, drop in milk production	Widges, mosquitoes
Bunyaviridae	Simbuvirus	Akabane virus	Abortion, stillbirth, congenital deformities, newborn arthrogryposis and hydranencephaly	Mosquitoes, widges
Reoviridae	Orbivirus	Ibaraki virus	Fever, lachrymation, congestion, edema, erosion, ulcer of mucous membrane, difficulty in swallowing	Widges
Flaviviridae	Flavivirus	Japanese encephalitis virus	Inapparent infection, rarely encephalitis	Mosquitoes

PRELIMINARY SURVEY OF ANTIBODIES TO ARTHROPOD-BORNE

Antibodies for Japanese encephalitis (JE) virus were measured by the HI test according to the method of Clark and Casals (1958). The antigen was prepared from infected suckling mouse brains by the sucrose-acetone extraction method, and goose erythrocytes were used.

HI antibody titer was calculated by the reciprocal of the highest serum dilution which inhibited hemagglutination, and 10 or above was regarded as positive.

RESULTS

A positive SN antibody rate of 95.5% and geometric mean (GM) titer of $2^{3.5}$ (11.3) was found in 155 bovine sera to BEF virus (Fig 1). Paired sera were obtained in Phetchaburi province on August 31st and September 17th, 1990. During this period, the GM of SN titer to BEF virus increase from $2^{3.1}$ (8.6) to $2^{4.9}$ (29.9), indicating that the virus was epizootic in this period (Fig 2).

A high HI antibody incidence of 95.5% and GM Titer of 32.5 was found for Akabane virus (Fig 3). Paired sera were obtained from herds affected by bovine abortion and stillbirth, at shortly after delivery and 17 days after the first bleeding. The HI antibody titer to Akabane virus increased in 3 out of 4 of the cows aborting (Fig 4).

Distribution of HI antibody to Ibaraki virus among 59 cattles in Saraburi province was 98.3% and GM titer was 20 suggesting that Ibaraki virus was already present in Thailand (Fig 5).

Prevalence of HI antibody against JE virus was examined in the sera of cattle imported from countries where JE virus was non-enzootic. Fifty nine sera were obtained from cattle 17 days after their arrival in Thailand from Costa Rica while being reared in Lopburi province for quarantine. Only 2 sera had antibody to JE virus in low titer; the positive rate was 3.4%. By contrast, sera collected from cattle imported from Australia and residing for 2 years in Phetchabun province, had antibody to JE virus at a positive rate of 21.9% with relatively higher HI titer, but a lower incidence than that of indigenous cattle of the same Phetchabun province, whose positive rate being 70% (Table 2).

DISCUSSION

There is little information of the existence and prevalence of arthropod-borne viruses infection in cattle in Thailand, except for BEF virus. Wongwatcharaduwong et al. (1984) reported the results of preliminary antibody survey against BEF virus in cattles and buffaloes in the southern part of Thailand. Virakul et al. (1987) investigated an outbreak of bovine epizootic disease among imported dairy cattle raised at Wuang-lek, Saraburi province and confirmed this outbreak was BEF virus infection by clinical and serological examination, but did not succeed in isolating the causal agent. The present serological survey reaffirmed these results of prevalence and epizootic of BEF virus in Thailand.

The occurrence of abortion, stillbirth and infertility in dairy cattle imported from foreign countries has been noticed by field veterinarians but the details of incidence and causal agents were unclear. Akabane virus is one of the viruses causing bovine abortion, stillbirth, and congenital deformities (Inaba & Matsumoto, 1981). There were no reports of infections of Akabane virus in cattle in Thailand, but the present results indicate the existence and a prevalence of the virus infection in cattle.

Ibaraki virus, closely related to bluetongue virus, causes a febrile disease, produces lesions in mucous membranes and develops difficulty in swallowing in the cattle. The virus and antibody have been found in Japan,

Fig 1 DISTRIBUTION OF NEUTRALIZATION ANTIBODY AGAINST BOVINE EPHEMERAL FEVER VIRUS AMONG CATTLE IN THAILAND.

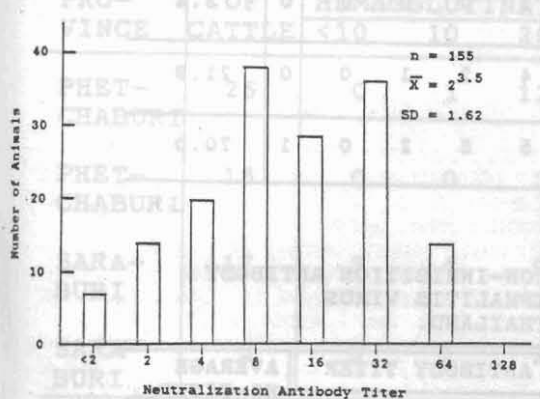


Fig 2 DETECTION OF NEUTRALIZATION ANTIBODY AGAINST BOVINE EPHEMERAL FEVER VIRUS IN SERA OF DAIRY CATTLE RESIDING PHETCHABURI PROVINCE OCCURED ABORTION, STILLBIRTH AND STIFF GAIT.

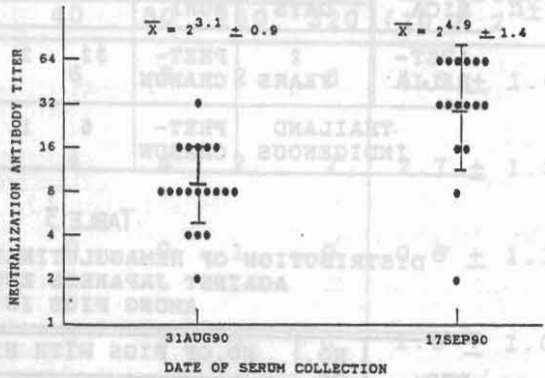


Fig 3 DISTRIBUTION OF HEMAGGLUTINATION-INHIBITION ANTIBODY AGAINST AKABANE VIRUS AMONG CATTLE IN THAILAND.

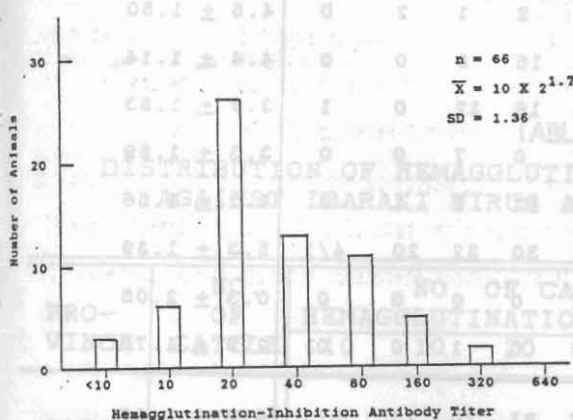


Fig 4 DETECTION OF HEMAGGLUTINATION-INHIBITION ANTIBODY AGAINST AKABANE VIRUS AMONG CATTLE OCCURED ABORTION, STILLBIRTH STIFF GAIT, RESIDING PHETCHABURI PROVINCE.

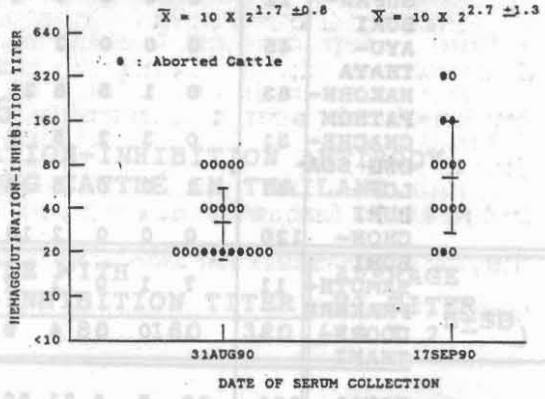


Fig 5 DISTRIBUTION OF HEMAGGLUTINATION-INHIBITION ANTIBODY TITERS AGAINST IBARAKI VIRUS AMONG CATTLE RESIDING IN CENTRAL REGION OF THAILAND.

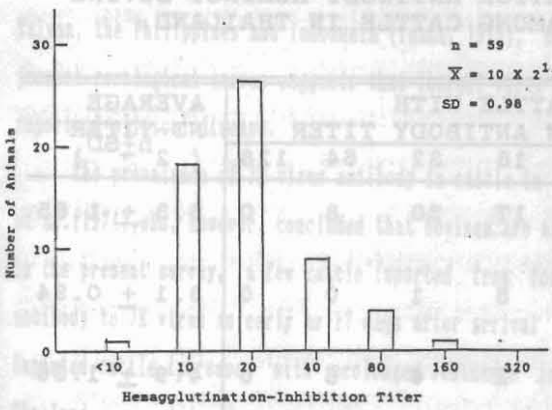
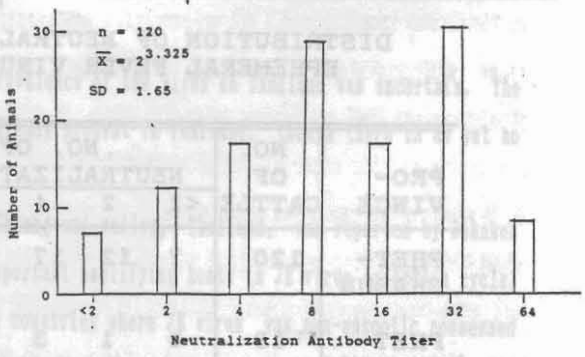


Fig 6 DISTRIBUTION OF NEUTRALIZATION ANTIBODY TITERS AGAINST BOVINE EPHEMERAL FEVER VIRUS AMONG CATTLE RESIDING PHETCHABOON PROVINCE



Neutralization test : Constant virus amount (100 TCID₅₀) and variety serum dilution method was employed. YHL strain of BEF virus and HaLu-1 cell culture system was used. The neutralization titer was determined as reciprocal of the highest serum dilution which inhibited completely of viral cytopathic effects.

TABLE 2

DISTRIBUTION OF HEMAGGLUTINATION-INHIBITION ANTIBODY AGAINST JAPANESE ENCEPHALITIS VIRUS AMONG IMPORTED CATTLE IN THAILAND.

IMPORTED FROM	DURATION IN THAILAND	RESIDE PROVINCE	NO. OF CATTLE WITH HI-ANTIBODY							POSITIVE RATE (%)
			<20	20	40	80	160	320	640	
COSTA RICA	17 DAYS	LOP-BURI	57	0	2	0	0	0	0	3.4
AUST-RALIA	2 YEARS	PHET-CHABUN	32	2	4	2	1	0	0	21.9
THAILAND INDIGENOUS		PHET-CHABUN	6	1	5	5	2	0	1	70.0

TABLE 3

DISTRIBUTION OF HEMAGGLUTINATION-INHIBITION ANTIBODY AGAINST JAPANESE ENCEPHALITIS VIRUS AMONG PIGS IN THAILAND.

PROVINCE	NO. OF PIGS	NO. OF PIGS WITH HI ANTIBODY TITER										AVERAGE HI-TITER (10 X 2 ⁿ ± SD)
		<10	10	20	40	80	160	320	640	1280	2560	
SARA-BURI	28	1	0	0	3	6	7	6	4	1	0	4.0 ± 1.66
SUPAN-BURI	12	0	0	0	1	1	5	2	1	2	0	4.6 ± 1.50
AYU-THAYA	45	0	0	0	2	9	11	15	8	0	0	4.4 ± 1.14
NAKORN-PATHOM	83	0	1	5	8	21	19	16	12	0	1	3.9 ± 1.53
CHACHE-ONG SOA	31	0	3	2	5	7	7	0	7	0	0	3.3 ± 1.89
LOP-BURI	37	1	0	0	5	3	10	12	5	1	0	4.2 ± 1.56
CHON-BURI	120	0	0	0	2	10	21	30	32	20	4/1	5.3 ± 1.39
SAMUTH-PRAKARN	11	7	1	0	1	0	2	0	0	0	0	0.3 ± 2.05
UDORN-THANI	14	1	0	1	4	2	5	0	1	0	0	2.9 ± 1.70
TOTAL	381	10	5	8	31	59	87	81	70	24	5/1	4.3 ± 1.80

TABLE 4

DISTRIBUTION OF NEUTRALIZATION ANTIBODY AGAINST BOVINE EPHEMERAL FEVER VIRUS AMONG CATTLE IN THAILAND.

PROVINCE	NO. OF CATTLE	NO. OF CATTLE WITH NEUTRALIZATION ANTIBODY TITER								AVERAGE NT-TITER (2 ⁿ ± SD)
		<2	2	4	8	16	32	64	128	
PHET-CHABUN	120	7	12	17	29	17	30	8	0	3.3 ± 1.65
PHET-CHABURI	19	0	1	3	9	5	1	0	0	3.1 ± 0.94
PHET-CHABURI	16	0	1	0	1	2	6	6	0	4.9 ± 1.36
TOTAL	155	7	14	20	39	24	37	14	0	3.5 ± 1.62

TABLE 5

DISTRIBUTION OF HEMAGGLUTINATION-INHIBITION ANTIBODY AGAINST AKABANE VIRUS AMONG CATTLE IN THAILAND.

PRO-VINCE	NO. OF CATTLE	NO. OF CATTLE WITH HEMAGGLUTINATION-INHIBITION TITER							AVERAGE HI-TITER (10 X 2 ^{n±SD})
		<10	10	20	40	80	160	320	
PHET-CHABURI	26	0	1	12	6	5	2	0	1.8 ± 1.06
PHET-CHABURI	15	0	0	3	4	4	2	2	2.7 ± 1.33
SARA-BURI	17	3	4	9	0	0	1	0	0.6 ± 1.18
SARA-BURI	8	0	1	2	3	2	0	0	1.8 ± 1.04
TOTAL	66	3	6	26	13	11	5	2	1.7 ± 1.36

TABLE 6

DISTRIBUTION OF HEMAGGLUTINATION-INHIBITION ANTIBODY AGAINST IBARAKI VIRUS AMONG CATTLE IN THAILAND.

PRO-VINCE	NO. OF CATTLE	NO. OF CATTLE WITH HEMAGGLUTINATION-INHIBITION TITER							AVERAGE HI-TITER (10 X 2 ^{n±SD})
		<10	10	20	40	80	160	320	
SARA-BURI	59	1	18	26	9	4	1	0	1.0 ± 0.98

Taiwan, the Philippines and Indonesia (Inaba, 1975), but prevalence of the virus in Thailand was uncertain. The present serological survey suggests that Ibaraki virus is already present in Thailand, though there is as yet no report of clinical disease.

The prevalence of JE virus antibody in cattle in the Chiang-mai valley, Thailand, was reported by Johnsen et al.(1974), who, however, concluded that bovines are not important amplifying hosts in JE virus infection cycle. In the present survey, a few cattle imported from foreign countries where JE virus was non-enzootic possessed antibody to JE virus as early as 17 days after arrival in Thailand. The incidence of antibody to JE virus in imported cattle increased with prolonged residence in this country, indicating that JE virus is enzootic in Thailand.

TABLE 2

REFERENCES

1. Clarke, D.H. and Casals, J. (1958). Techniques for hemagglutination and hemagglutination inhibition with arthropod-borne viruses. *Am. J. Trop. Med. Hyg.* 7:561-573.
2. Goto, Y., Inaba, Y., Miura, Y., Kurogi, H., Takahashi, E., Sato, K. Omori, T., Hanaki, T., Sarawa, H., and Matumoto, M. (1978). Hemagglutination-inhibition test applied to the study of Akabane virus infection in domestic animals. *Vet. Microbiol.* 3:89-99.
3. Inaba, Y. (1975). Ibaraki disease and its relationship to bluetongue. *Aust. Vet. J.* 51:178-185.
4. Inaba, Y. and Matumoto, M. (1981). Congenital arthrogryposis-hydranencephaly syndrome. *Virus diseases of food animals.* Vol. II. pp. 653-671. Edited by Gibbs, E.P.J. Academic Press, London.
5. Inaba, Y., Tanaka, Y., Sato, K., Ito, H., Omori, T. and Matumoto, M (1968). Propagation in laboratory animals and cell cultures of a virus from cattle with bovine epizootic fever. *Jpn. J. Microbiol.* 12:253-255.
6. Johnsen, D.O., Edelman, R., Grossman, R.A., Muangman, D., Ponsdhit, J. and Gould, D.J. (1974). Study of Japanese encephalitis virus in Chiangmai valley, Thailand. *Am. J. Epidemiol.* 100:57-68.
7. Tokuhisa, S., Inaba, Y., Miura, Y., Sato, K. and Matumoto, M. (1983). Salt-dependent hemagglutination with Ibaraki virus and its inhibition by specific antisera. *Jpn. J. Vet. Sci.* 45:15-21.
8. Virakul, P., Wongwathcharadumrong, R. and Nittichai, K. (1987). Prevalence of bovine ephemeral fever disease in dairy cattle at Muang-lek district. *Thai. J. Vet. Med.* 17:253-260.
9. Wongwathcharadumrong, R. Chaipoca, C. and Kishi, S. (1984). Preliminary report of neutralizing antibody examination in bovine ephemeral fever in the southern part of Thailand. *Thai. J. Vet. Med.* 14:23-30.

PRO-VINCE	NO. OF CATTLE WITH HEMAGGLUTINATION-INHIBITION TITER	AVERAGE
SARAWAK	120	1.0
BURU	19	0.0
TOTAL	139	1.0

DISTRIBUTION OF NEUTRALIZATION ANTIBODY AGAINST BOVINE EPHEMERAL FEVER VIRUS

PRO-VINCE	NO. OF CATTLE WITH NEUTRALIZATION TITER	AVERAGE
SARAWAK	120	1.0
BURU	19	0.0
TOTAL	139	1.0

ความสัมพันธ์ของการเกิดปฏิกิริยาสังเคราะห์ ของสารในกลุ่ม AZIRIDINE (BINARY ELHYLENIMINE)

ในระยะเวลาและอุณหภูมิต่าง ๆ กัน

A RELATION OF AZIRIDINE GROUP CYCLIZATION (BINARY ELHYLENIMINE)
IN THE VARIOUS TIME AND TEMPERATURE

มนตรี มนต์มธุรพจน์¹ นริศ ว่องวัฒนากุล¹ พิจิตร มกรเสน¹

Montri Montmaturapoj Naris Wongwattanakul, Pichit Makarasen

ABSTRACT

At present, foot and mouth disease viruses (FMDV) were inactivated with Binary ethylenimine (BEI) from the cyclization reaction of 2-Bromo ethylamine (BEA) under alkaline solution. (1,3,6)

Preparation of BEI by reaction of 0.14 N. soda solution at 37°C., 3 hours, provides suitable pH 7.5-7.7 to inactivate FMDV. To extend the time of reaction pH will be slowly decreased. Another preparation of BEI with 0.2N. soda solution gave high pH and quite stable between pH 9-10. The experiments has done by storage both of BEI-preparation at 5°C. for 1 week, this temperature keep pH more stable, properties of inactivation with FMDV still be efficient.

บทคัดย่อ

การ inactivate ไวรัสโรคปากและเท้าเปื่อยในปัจจุบัน ใช้สาร Binary ethylenimine (BEI) ซึ่งเตรียมได้จากปฏิกิริยาสังเคราะห์ของสาร 2-Bromo ethylamine (BEA) กับสารละลายโซดา (NaOH) (1,3,6)

BEI ที่เตรียมจากสารละลายโซดาความเข้มข้น 0.14 N ที่อุณหภูมิ 37°C. นาน 3 ชั่วโมง จะมี pH ประมาณ 7.5-7.7 ซึ่งพบว่าเหมาะสมในการใช้ inactivate ไวรัสโรคปากและเท้าเปื่อย เมื่อปล่อยให้ปฏิกิริยาเกิดต่อไปพบว่า pH ของ BEI จะค่อย ๆ ลดค่าลง ส่วนสารละลาย BEI ที่เตรียมจากสารละลายโซดา ความเข้มข้น 0.2 N จะให้ pH สูงและค่อนข้างคงที่ระหว่าง 9-10 ในการทดลองโดยเก็บ BEI ที่เตรียมจากสารละลายโซดาทั้งสองความเข้มข้นที่อุณหภูมิ 5°C. นาน 1 สัปดาห์ พบว่าที่อุณหภูมิ pH ของสารละลายคงที่มากขึ้น คุณสมบัติในด้าน inactivate ไวรัสโรคปากและเท้าเปื่อยยังมีประสิทธิภาพเช่นเดิม

คำนำ

การ inactivate ไวรัสโรคปากและเท้าเปื่อย (FMDV) โดย aziridines หรือ ethylenimine (EI) derivatives ถูกนำมาใช้อย่างกว้างขวางตั้งแต่ปี ค.ศ. 1970 (1) N-acetyl Ethylenimine (AEI) เป็น aziridine ตัวแรกที่นำมาใช้ในการ inactivate FMDV ในการผลิตวัคซีน (4) แต่ AEI ยังมีคุณสมบัติที่ไม่ดีเนื่องจากไม่คงทนในอุณหภูมิปกติ ต่อมาพบว่า EI มีคุณสมบัติที่ดีในการ inactivate FMDV และยังคงทนได้ในอุณหภูมิปกติแต่ความเป็นพิษสูง ใช้ไม่สะดวกและอันตรายหากนำมาใช้ปริมาณมาก ๆ เช่นในกระบวนการผลิตวัคซีน (3)

ต่อมาได้พบว่า formation ของ BEI ที่ได้จากปฏิกิริยาของ 2-Haloalkylamines (2-bromoethylamine) ภายใต้สภาพความเป็นด่าง EI ที่ได้มีคุณสมบัติที่ดีความเป็นพิษน้อยลง มีความคงทนในอุณหภูมิปกติพอสมควร จึงได้เรียกสารตัวใหม่นี้ว่า Binary Ethylenimine เพื่อให้แยกออกจาก pure EI (1) การใช้ BEI ในการผลิตวัคซีน FMD จึงมีขึ้นอย่างกว้างขวาง การเตรียม BEI โดยทั่วไป มักจะพบว่าเป็นการเตรียมเพื่อจะนำมาใช้ทันที (1) มีรายงานว่าสามารถ เตรียม BEI เป็นสัติกอเก็บไว้และสัติกอนำมาใช้งานได้ (9)

การทดลองนี้ เป็นการศึกษาดูเบื้องต้นว่าจะสามารถเตรียม BEI เก็บเป็นสัติกอไว้ได้หรือไม่และเก็บได้นานเพียงใด โดยยังมีคุณสมบัติเหมือน ๆ กับ BEI ที่เตรียมใหม่ เพื่อเป็นประโยชน์ในการประหยัดเวลา ลดความยุ่งยากในกระบวนการผลิตวัคซีน ลดค่าใช้จ่ายในการผลิต ซึ่งแต่เดิมต้องใช้ BEI ในลักษณะที่เตรียมใหม่เสมอ

วิธีการเตรียมไวรัส อุกกรรมและวิธีการ

1. การเตรียมไวรัส

ไวรัสโรคลายกและเข้าเชื้อโพรโตเตรียมจาก IPFA-3 Cell suspension ในถังขนาด 3,200 ลิตรทำการแยกภาคเซลล์โดยการ Centrifuge และการกรองด้วยไส้กรองขนาด 3 um จากนั้นทำให้เข้มข้นด้วยเครื่อง Ultrafiltration และทำให้บริสุทธิ์โดยสารเคมีจนได้ไวรัสที่บริสุทธิ์และเข้มข้นสุด (Total virus) ความเข้มข้น 275 เท่า นำไวรัสนี้มาทำการทดสอบ inactivation ด้วย BEI ที่เตรียมในความเข้มข้นต่าง ๆ และเก็บในอุณหภูมิต่าง ๆ กัน

2. การเตรียมสาร Inactivant BEI

2.1 เตรียม BEA 0.1 N ทำปฏิกิริยากับ 0.14 N NaOH solution ที่ 37°C. ใน waterbath เก็บตัวอย่างเมื่อเริ่มทำปฏิกิริยาชั่วโมงที่ 0 (T0) ชั่วโมงที่ 1 (T1) ชั่วโมงที่ 3 (T3) ชั่วโมงที่ 5 (T5) ชั่วโมงที่ 10 (T10) ชั่วโมงที่ 15 (T15) และชั่วโมงที่ 24 (T24) ขณะทำการเก็บทำการตรวจวัด pH ทุกครั้ง ตัวอย่างทั้งหมดนำไปเก็บไว้ใน -20°C. และนำมาตรวจค่า Ethylenimine (EI) ที่เกิดขึ้น BEI ที่ชั่วโมงที่ 3 และ 5 แบ่งส่วนหนึ่งมาทำการ inactivate ไวรัส ส่วนที่เหลือเก็บใน 5°C. นาน 1 สัปดาห์ แล้วนำมาตรวจวัด pH และหาปริมาณ EI ที่เกิดขึ้น จากนั้นนำมาทดลอง inactivate ไวรัสโดยวิธีการเดียวกัน

2.2 เตรียม BEA 0.1 N ทำปฏิกิริยากับ 0.2 N NaOH solution ที่ 37°C. เช่นเดียวกับ 2.1 เก็บตัวอย่างทำการตรวจวัดค่า pH หาปริมาณ EI ที่เกิดขึ้น BEI ชั่วโมงที่ 3 และ 5 แบ่งส่วนหนึ่งมาทำการ inactivate ไวรัส ที่เหลือเก็บใน 5°C. นาน 1 สัปดาห์ แล้วนำมาตรวจวัดค่า pH และหาปริมาณ EI ที่เกิดขึ้น จากนั้นนำมาทดลอง inactivate ไวรัส เช่นเดียวกัน

3. การ Inactivate ไวรัส

ทำการ inactivate ไวรัสที่เตรียมจากข้อ 1 ด้วยปริมาณ BEI 10% V/V (0.01% final concentration) ทำการ inactivate ที่อุณหภูมิ 25°C. เป็นเวลา 17 ชั่วโมง

4. Inactivation Test

ทำการตรวจตัวอย่างไวรัสที่ inactivate แล้ว ด้วยวิธี inactivation test โดยวิธีการดังนี้

- 4.1 เตรียม Primary Lamb Kidney cells ในขวดหมอน้ำใต้เซลล์เต็มขวด
- 4.2 ใ้ไวรัสที่ inactivate แล้ว ลงไปในเซลล์ที่เตรียมใน 4.1 ทำการ incubate ที่ 37°C. นาน 48 ชั่วโมง ตรวจการเกิด CPE ใน 24 ชั่วโมง และ 48 ชั่วโมง
- 4.3 หากตรวจพบว่ามีการเกิด CPE นำ fluid จากข้อ 4.2 นี้ไป passage ลงใน Lamb Kidney cell ต่อไปอีก 2 passage
- 4.4 หากพบว่าเกิด CPE ทำการตรวจหาไวรัส โดยวิธี Virus infectivity test หรือ 100% hemolysis complement fixation
- 4.5 หากตรวจตามข้างต้นแล้วไม่พบ CPE แสดงว่าการ inactivate ไวรัสมันสมบูรณ์ แต่ถ้าเกิด CPE แล้วตรวจตามข้อ 4.4 เป็นปกติเดียวกับที่ทดลองแสดงว่าการ inactivate ไวรัสไม่สมบูรณ์

ผล

ในตารางที่ 1 จะพบว่าค่า pH ของ BEI ที่เกิดจากความเข้มข้นของค่า 0.14 N NaOH จะค่อย ๆ ลดลงเมื่อปล่อยให้เกิดขึ้นปฏิกิริยาต่อไป แต่ค่า pH ของ BEI ที่เกิดจากค่า 0.2 N และลดลงเพียงเล็กน้อย และค่อนข้างจะคงที่เมื่อปล่อยให้เกิดขึ้นปฏิกิริยาต่อไป จากตารางที่ 2 เมื่อเลือก pH ที่เหมาะสมที่สุด (ชั่วโมงที่ 3-5) นำมาเก็บในอุณหภูมิ 5°C. เพื่อให้ปฏิกิริยาสิ้นสุดลงเป็นเวลานาน 1 สัปดาห์ พบว่า pH ของ BEI ที่เตรียมจากค่าทั้งสองความเข้มข้นในวันแรกตลอดจนถึงวันสุดท้าย pH ค่อนข้างคงที่ซึ่งหมายความว่า ในกรณีที่เตรียม BEI แล้วไม่สามารถจะนำ BEI นี้มา inactivate ไวรัสได้ทันทีก็สามารถเก็บ BEI นี้ในอุณหภูมิ 5°C. ได้นานถึง 1 สัปดาห์ โดยที่ pH ของ BEI จะไม่มีการเปลี่ยนแปลงไปมากนัก

พบว่า pH ของ BEI ขณะเกิดปฏิกิริยาที่ 37°C. (ตารางที่ 4) หากนำมาเก็บใน -20°C. pH ในส่วนที่เกิดจากปฏิกิริยาของค่า 0.14 N NaOH จะกลับลดลง แต่ pH ของ BEI ที่เกิดจากปฏิกิริยาของค่า 0.2 N NaOH จะค่อนข้างคงที่

ในส่วนของปริมาณ EI ที่เกิดขึ้น (ตารางที่ 5) พบว่า EI ที่เกิดจากค่า 0.14 N NaOH ปริมาณ EI จะค่อย ๆ ลดลงและจะคงที่ตั้งแต่ชั่วโมงที่ 3 เป็นต้นไป แต่ในส่วนของ EI ที่เกิดจากปฏิกิริยาของค่า 0.2 N NaOH ปริมาณ EI ที่เกิดขึ้นจะมีมากเป็น 2 เท่าของ EI ที่เกิดจากค่า 0.14 N NaOH และปริมาณ EI จะค่อนข้างคงที่ แม้จะปล่อยให้เกิดขึ้นปฏิกิริยาต่อไปและจะเริ่มลดลงตั้งแต่ชั่วโมงที่ 10

จากตารางที่ 6 เมื่อทำการ inactivate ไวรัสด้วย BEI ที่เตรียมใหม่ ๆ (3 ชั่วโมง) และนำบางส่วนนำไปเก็บในอุณหภูมิ 5°C. นาน 1 สัปดาห์ พบว่า Residual EI ที่เกิดเมื่อเริ่ม inactivate (T0) และเมื่อครบเวลา inactivate แล้ว (T17) Residual EI ในส่วนของ BEI ที่เก็บใน 5°C. จะมีปริมาณน้อยกว่า Residual EI ที่เตรียมและใช้ทันที ซึ่งอาจจะเป็นไปได้ว่าปริมาณ EI ที่เกิดขึ้นระหว่างปฏิกิริยาของ BEA และด่าง NaOH เมื่อปล่อยให้เป็นเวลาาน ๆ ปริมาณ EI จะลดน้อยลงบ้าง แต่ก็ไม่ได้แตกต่างกันอย่างเห็นได้ชัด

ตารางที่ 1 แสดงค่า pH ของ BEI ที่เปลี่ยนแปลงเมื่อเริ่มทำปฏิกิริยาที่อุณหภูมิ 37°C. จนครบ 24 ชั่วโมง โดยเตรียม BEI 0.1 M ในความเข้มข้นของด่าง (NaOH) ที่ 0.14 N และ 0.2 N

Time (hrs)	BEA 0.1 M in 0.14 N NaOH			BEA 0.1M in 0.2 N NaOH		
	Sample No. 1	Sample No. 2	Sample No. 3	Sample No. 1	Sample No. 2	Sample No. 3
T0	11.53	11.54	11.52	11.56	11.57	11.58
T1	7.79	7.78	7.86	9.75	9.74	9.58
T3	7.60	7.62	7.68	9.78	9.81	9.66
T4	7.52	7.58	7.60	9.84	9.85	9.72
T5	7.43	7.54	7.53	9.89	9.87	9.76
T10	7.23	7.36	7.38	10.00	10.03	9.92
T15	7.10	7.19	7.20	10.02	10.08	9.97
T24	6.95	6.89	7.02	10.07	11.06	10.05

ตารางที่ 2 แสดงค่า pH ของ BEI ที่เก็บตัวอย่างจากชั่วโมงที่ 3 (T3) และชั่วโมงที่ 5 (T5) เมื่อปล่อยให้เกิดปฏิกิริยาคำเนินต่อไปในอุณหภูมิ 5°C. เป็นเวลา 1 สัปดาห์ (T = time in hour)

Day	BEA 0.1 M in 0.14 N NaOH		BEA 0.1M in 0.2 N NaOH	
	T3	T5	T3	T5
0	7.63	7.52	9.80	9.87
1	7.97	7.84	10.14	10.26
2	7.97	7.84	10.13	10.27
3	7.96	7.82	10.19	10.27
4	7.89	7.79	10.18	10.26
5	7.83	7.75	10.13	10.25
6	7.76	7.69	10.17	10.24
7	7.65	7.63	10.16	10.24

ตารางที่ 3 สรพค่า pH ของ BEI จากตารางที่ 2 ที่ชั่วโมงที่ 3 (T3) และชั่วโมงที่ 5 (T5) ของวันแรกและวันที่ 7 เมื่อปล่อยให้เกิดปฏิกิริยาต่อไปในอุณหภูมิ 5°C. (T = time in hour)

Day	BEA 0.1 M in 0.14 N NaOH		BEA 0.1M in 0.2 N NaOH	
	T3	T5	T3	T5
0	7.63	7.52	9.80	9.87
7	7.65	7.63	10.16	10.24

ตารางที่ 4 เปรียบเทียบค่า pH ของ BEI ภายหลังเก็บในอุณหภูมิ -20°C. เป็นเวลานาน 6 สัปดาห์ กับค่า pH ของ BEI ที่เตรียมใหม่ ขณะทำปฏิกิริยาที่ 37°C. ก่อนเก็บใน -20°C. (T = time in hour)

Time (hrs)	BEA 0.1 M in 0.14 N NaOH		BEA 0.1M in 0.2 N NaOH	
	37°C.	-20°C.	37°C.	-20°C.
T0	11.54	8.64	11.57	11.59
T1	7.78	7.18	9.74	10.20
T3	7.62	6.98	9.31	10.19
T5	7.54	6.92	9.37	9.76
T10	7.36	6.88	10.03	9.37
T15	7.19	6.90	10.08	10.09
T24	6.89	6.98	10.06	10.30

ตารางที่ 5 การตรวจหาปริมาณของ Ethylenimine (EI) ในระยะเวลาต่าง ๆ ตั้งแต่ชั่วโมงที่เริ่มทำปฏิกิริยา (T0) จนกระทั่งถึงชั่วโมงที่ 24 (T24) จากปฏิกิริยาของสาร BEA กับความเข้มข้นต่างสองชนิด 0.14 และ 0.2 N. (NaOH) (T = time in hour) (μ mol = micromol)

Time (hrs)	EI (μ mol/ml)	
	BEA 0.1 M in 0.14 N NaOH	BEA 0.1M in 0.2 N NaOH
T0	38.4	70.5
T1	15.2	71.0
T3	3.3	71.4
T5	3.2	78.5
T10	9.3	65.7
T15	9.4	58.8
T24	9.0	59.6

ตารางที่ 6 ปริมาณ Residual Ethylenimine (EI) (μ mol/ml) ที่เกิดขณะ inactivation ไวรัสโรคปากและเท้าเปื่อยที่ชั่วโมงเริ่มต้น (T0) และชั่วโมงที่ 17 (T17) หลัง inactivation เปรียบเทียบจากการเตรียม BEI ชั่วโมงที่ 3 ใช้ทันทีหลังเตรียมที่ 37°C. กับหลังจากเก็บใน 5°C. นาน 1 สัปดาห์

Inactivation Time (Hrs)	EI at T 37°C. (μ mol/ml)		EI at T3 5°C. 1 wk (μ mol/ml)	
	0.14 N NaOH	0.2 N NaOH	0.14N NaOH	0.2 N NaOH
T0 (Time of contact)	3.97	5.20	2.06	4.80
T17 (Time after inactivation)	2.88	4.56	2.01	4.19

ตารางที่ 7 ผลการทดลอง inactivation test ไวรัสโรคปากและเท้าเปื่อยโดยใช้ BEI ที่เตรียมหลังเกิดปฏิกิริยา 3 และ 5 ชั่วโมง (T3, T5) ในความเข้มข้นต่าง 2 ความเข้มข้น ใช้ทันทีหลังการเตรียมและใช้หลังจากเก็บใน 5°C. นาน 1 สัปดาห์

TEMP.	T3		T5	
	0.14 N NaOH	0.2 N NaOH	0.14N NaOH	0.2 N NaOH
37°C.	complete	complete	complete	complete
5°C. 1 wk	complete	complete	complete	complete

สรุปและวิจารณ์

จากผลการทดลองพบว่าปริมาณ Ethylenimine (EI) ที่เกิดขึ้นในความเข้มข้นของต่าง 0.2 N มีปริมาณสูงมากเมื่อเทียบกับปริมาณ EI ที่เกิดขึ้นในความเข้มข้นต่าง 0.14 N (ตารางที่ 5) และเมื่อนำ BEI ที่เตรียมได้ไปทำการ inactivate ไวรัสโรคปากและเท้าเปื่อย ปริมาณ Residual EI ที่เหลือจากการ inactivate ไวรัสในส่วนที่เตรียมจากต่าง 0.2 N ก็ยังมีปริมาณมากกว่า BEI ที่เตรียมจากต่าง 0.14 N (ตารางที่ 6) ซึ่งปริมาณ EI ที่ค้างเหลืออยู่นี้หากมีปริมาณมากเกินไปมักจะพบเสมอว่า ในการทำ inactivation test เซลล์จะตายเพราะเกิด toxic เสมอ โดยเฉพาะอย่างยิ่งการใช้ primary cell ในการทดสอบ ซึ่งตรงกับ สมใจ กมลศิริพิชิต และคณะรายงานไว้ (9) ดังนั้นในการเตรียม inactivant BEI จึงแนะนำว่าควรเตรียมในความเข้มข้นต่าง 0.14 N จะดีกว่าการเตรียมในต่าง 0.2 N ซึ่งการเตรียมในต่าง 0.2 N นี้จะต้องมาเติมสารเคมี ที่จะหยุดปฏิกิริยาของ BEI เพื่อไม่ให้เกิด toxic ภายหลัง (9)

จากการเก็บ BEI ที่อุณหภูมิ 5°C. นาน 1 สัปดาห์ พบว่า BEI ที่เตรียมยังคงมีคุณสมบัติในการ inactivate ไวรัสได้ดีพอ ๆ กับ BEI ที่เตรียมใหม่ คุณสมบัตินี้ว่าเป็นประโยชน์และสามารถนำมาใช้กับงานด้านการผลิตวัคซีนโรคปากและเท้าเปื่อยได้เป็นอย่างดี

กิตติกรรมประกาศ

ขอขอบคุณ นายสัตวแพทย์พิจิตร มกรเสน และเจ้าหน้าที่ฝ่ายทดสอบคุณภาพวัคซีน สุนัขโรคปากและเท้าเปื่อย ที่ได้สนับสนุนการทดลองครั้งนี้จนสำเร็จ ล่วงไปด้วยดี ขอขอบคุณ นายสัตวแพทย์พยนต์ สิ้นสว่างคำผัน ที่ทรงช่วยตรวจหาและแก้ไข รวมทั้ง ได้จัดหาพิมพ์เผยแพร่ทางวิชาการเพื่อเป็นประโยชน์ต่อไป

เอกสารอ้างอิง

1. Bahnewann, H.G. 1975. Binary Ethylenimine as an Inactivant for Foot and Mouth Disease Virus and Its Application for Vaccine Production. Arch Virol 47:47-56.
2. Bahnewann, H.G. 1976. Inactivation of Viruses in Serum with Binary Ethyleimine. Journal of Clinical Microbiology, Feb. Vol. 3, No. 2: 209-210.
3. Bahnewann, H.G., Auge de Mello, P., Abaracon, D., Gomes, I. 1974. Immunogenicity in Cattle of Foot and Mouth Disease vaccines inactivated with Binary-Ethylenimine. Bull of int. Epiz. 81 (11-12): 1335-1343.
4. Brown, F., Hyslop, N. St G., Joan Crick., Morrow, A.W. 1963. The use of acetyethylenimine in the production of inactivate foot and mouth disease vaccines. J. Hyg., Camb. 61:337-344.
5. Cunliffe, H.R. 1973. Inactivation of Foot-and-Mouth Disease Virus with Ethylenimine. Applied Microbiology, Nov. Vol. 26, No. 5: 747-750.
6. Daniel Abaracon., Homero Giacometti., Julio A. Mesquita. 1979. The use of binary ethylenimine (BEI) for the inactivation of foot-and-mouth disease virus produced by different semi-industrial techniques. Blth Centro Panamericano Pobre Aftosa 33-34: 7-11.
7. Larghi, O.P., Savy, V.L., Nebel, A.E. and Rodriguez, A. 1976. Ethylenimine-Inactivated Rabies Vaccine of Tissue culture Origin. Journal of clinical Microbiology, Jan. Vol. 3 No. 1: 26-33.
8. Oscar P. Larghi and Ana E. Nebel 1980. Rabies Virus Inactivation by Binary Ethylenimine : New Method for Inactivated Vaccine Production. Journal of Clinical Microbiology, Feb. Vol. 11, No. 2: 120-122.
9. สมใจ กมลศิริพิชัยพร และคณะ 2533 อีทธิพลของการเก็บและการเตรียมการ Binary Ethyleneimine (BEI) ต่อการเป็นพิษ และคุณสมบัติในการ Inactivation ไวรัสโรคปากและเท้าเปื่อย วารสารวิจัยสัตวแพทย์ ปีที่ 1 เล่มที่ 1 น. 47-52

110	7.38	6.74	14.61	14.61
115	7.18	6.52	13.01	13.01
124	6.81	6.58	13.05	13.30

ตารางที่ 1

ผลการทดลองการเตรียมวัคซีนโรคปากและเท้าเปื่อยโดยใช้ Binary Ethylenimine (BEI) ในอัตราส่วนต่าง ๆ (1:1, 1:2, 1:3, 1:4, 1:5) พบว่าอัตราส่วนที่เหมาะสมที่สุดในการเตรียมวัคซีนคือ 1:1 ซึ่งให้ผลในการเตรียมวัคซีนได้ดีที่สุด และสามารถใช้วัคซีนที่เตรียมได้ในการทดลองฉีดวัคซีนป้องกันโรคปากและเท้าเปื่อยในสัตว์ทดลองได้เป็นอย่างดี

ผลการทดลองการเตรียมวัคซีนโรคปากและเท้าเปื่อยโดยใช้ Binary Ethylenimine (BEI) ในอัตราส่วนต่าง ๆ (1:1, 1:2, 1:3, 1:4, 1:5) พบว่าอัตราส่วนที่เหมาะสมที่สุดในการเตรียมวัคซีนคือ 1:1 ซึ่งให้ผลในการเตรียมวัคซีนได้ดีที่สุด และสามารถใช้วัคซีนที่เตรียมได้ในการทดลองฉีดวัคซีนป้องกันโรคปากและเท้าเปื่อยในสัตว์ทดลองได้เป็นอย่างดี

ผลการทดลองการเตรียมวัคซีนโรคปากและเท้าเปื่อยโดยใช้ Binary Ethylenimine (BEI) ในอัตราส่วนต่าง ๆ (1:1, 1:2, 1:3, 1:4, 1:5) พบว่าอัตราส่วนที่เหมาะสมที่สุดในการเตรียมวัคซีนคือ 1:1 ซึ่งให้ผลในการเตรียมวัคซีนได้ดีที่สุด และสามารถใช้วัคซีนที่เตรียมได้ในการทดลองฉีดวัคซีนป้องกันโรคปากและเท้าเปื่อยในสัตว์ทดลองได้เป็นอย่างดี

ผลผลิตไวรัสโรคปากและเท้าเปื่อย โดยการทดลองใช้ไวรัสชนิดบริสุทธิ์และเข้มข้น เป็น INOCULUM

THE VIRUS YIELD OF FOOT AND MOUTH DISEASE VACCINE USING PURIFIED CONCENTRATED VIRUSES AS INOCULUM

มนตรี มนต์มธุรพจน์¹ สินสมุทร นิลฉวี¹
Montri Montmaturapoj Sinsamoot Nilchavee

ABSTRACT

In the small scale vaccine production of Foot and Mouth Disease virus (FMDV) type O using the purified concentrated viruses as inoculum show that there is no significal difference between the experimental viruses and the routine production viruses using raw virus as inoculum.

บทคัดย่อ

ในการทดลองเพาะไวรัสโรคปากและเท้าเปื่อยไทป์โอ โดยการใช้อุไวรัสชนิดบริสุทธิ์และเข้มข้นเป็น inoculum พบว่าผลผลิตของไวรัสที่ได้จากการเพาะโดยใช้ inoculum แบบนี้ ให้ผลไม่แตกต่างกับผลผลิตที่ได้จากการผลิตไวรัสเพื่อการผลิตวัคซีนโรคปากและเท้าเปื่อยโดยวิธีปกติ ซึ่งใช้ raw virus เป็น inoculum

คำนำ

การผลิตไวรัสโรคปากและเท้าเปื่อยโดยวิธีปัจจุบัน มีความยุ่งยากและลำบากในการเตรียม Seed virus ในแต่ละขั้นตอน เพื่อนำไปขยายการผลิตระดับอุตสาหกรรม ปัญหาส่วนใหญ่พบว่า การเตรียม Seed virus ขึ้นมาใหม่ในแต่ละชุด ไม่สามารถจะเก็บรักษาไว้ได้นาน เนื่องจากพบว่าคุณสมบัติด้าน infectivity จะลดต่ำลงอย่างมาก ดังนั้นหากเตรียม Seed virus ขึ้นมาแล้ว และไม่ใช้ในระยะเวลาที่ไวรัสยังคงมีคุณสมบัติที่ดีอยู่ ก็จะต้องทิ้งไปและเตรียมขึ้นมาใหม่ ซึ่งเป็นภาระยุ่งยาก สิ้นเปลือง และเสียเวลา อีกทั้งปัญหาที่พบบ่อยครั้งก็คือการเตรียม Seed virus แบบ Raw virus นั้นจะต้องให้มีความสัมพันธ์กับการผลิตเซลล์ที่จะนำมาใช้ในการ infect ไวรัส เพื่อการผลิตวัคซีน หากการเตรียม Seed virus และการผลิตเซลล์ไม่สัมพันธ์กัน ผลผลิตไวรัสที่ได้ก็จะไม่ดีเท่าที่ควร

ดังนั้นจึงได้ทำการทดลองนำไวรัสที่บริสุทธิ์และเข้มข้นมาใช้เป็น inoculum หากผลผลิต (yield) ที่ได้จากการทดลองนี้ดีเท่ากับผลผลิตเดิมที่ดำเนินการผลิตอยู่ในปัจจุบันหรือดีกว่า ก็จะเป็นการลดขั้นตอนในการเตรียม Seed virus โดยการเตรียม Seed virus แล้วทำให้เข้มข้นไว้เป็นสัดส่วนจำนวน ๆ มาก และเก็บไว้ใน Liquid nitrogen โดยแบ่งเป็นชุด ๆ ตามปริมาณที่จะใช้ในแต่ละครั้ง ไวรัสที่เข้มข้นเป็น inoculum นั้น ก็สามารถนำมาใช้ได้ทันที อีกทั้งยังมีผลผลิตวัคซีนโรคปากและเท้าเปื่อยแต่ละชุดก็จะมีคุณภาพใกล้เคียงกัน ซึ่งจะได้รับความสะดวกและลดค่าใช้จ่ายในการผลิต เมื่อนำผลจากการทดลองนำมาใช้กับการผลิตระดับอุตสาหกรรม

อุปกรณ์และวิธีการ

อุปกรณ์	ประกอบด้วย
1.	Seed virus (from -70°C.) Type O1es (Oudornthani/87)
2.	IFFA-3 cell suspension
3.	Basal Medium Eagle (BME) with 2% Calf Serum
4.	Van Bekkum Medium (VBM)
5.	Ethylene Oxide polymer

¹ศูนย์โรคปากและเท้าเปื่อย กองผลิตวัคซีน กรมปศุสัตว์

วิธีการ

1. การเตรียม inoculum purified-concentrated virus

ขั้นตอนที่ 1 เตรียม Refreshment virus ในขนาด wolff โดยใช้ IPFA-3 Cell suspension ความเข้มข้น 3×10^6 cell/ml หลังจากนั้นใช้ Initial virus strain (IVS) ที่เก็บใน -70°C . โดยใช้ปริมาณ $10 \text{ ml}/10^9$ cell เป็น inoculum ทำการเพาะที่ 37°C . pH 7.5 ~ 7.6 ใน water bath โดยใช้ O_2 เป็น aeration ทำการเก็บไวรัส เมื่อเกิด Cytopathic effect ต่อเซลล์ 80-90% ใส่ Chloroform 0.5% V/V บ่มอย่างแรง 1 ชั่วโมง แล้วเก็บในอุณหภูมิ 5°C .

ขั้นตอนที่ 2 เตรียม Seed batch ในขนาดเพาะเหมือนขั้นตอนที่ 1 โดยใช้ refreshment virus ที่เตรียมจากขั้นตอนที่ 1 เป็น inoculum เมื่อเซลล์เกิด CPE ประมาณ 90% ทำการหยดเพาะ ใส่ chloroform 0.5% V/V บ่มอย่างแรง 1 ชั่วโมง เก็บในอุณหภูมิ 5°C .

ขั้นตอนที่ 3 เตรียม production virus ในขนาดเพาะ โดยรับเซลล์จากขนาดเพาะซึ่งได้เพาะเซลล์เตรียมไว้แล้วมาทำการเพาะให้ได้เซลล์จำนวน $\gg 2 \times 10^6$ เซลล์/ซีซี. แล้วทำการตกตะกอนเซลล์ 1 วัน ถายน้ำยาส่วนใสด้านบนทิ้ง แล้วเติมน้ำยาเพาะไวรัส (VBM) ปรับจำนวนเซลล์ให้มีความเข้มข้น 2×10^6 เซลล์/ซีซี. แล้ว infect ด้วยไวรัสที่เตรียมในขั้นตอนที่ 2 (seed batch) จำนวน $10 \text{ ซีซี.}/10^9$ เซลล์ เหมือนขั้นตอนที่ 1 เมื่อเกิด CPE ประมาณ 80-90% หยดทำการเพาะ ใส่ chloroform 0.5% V/V บ่มอย่างแรงที่ 25°C . นาน 1 ชั่วโมง ทำให้เย็นลงที่ 5°C . แล้วตกตะกอนภาคเซลล์ไว้อย่างน้อย 20 ชั่วโมง

ขั้นตอนที่ 4 ทำการ clarify ไวรัสด้วยเครื่อง centrifuge ไวรัสส่วนที่ clarify แล้วผ่านเข้ามาเก็บในภาชนะที่ใส่เป็น buffer และขณะเดียวกันกรองไวรัสส่วนนี้ด้วยเครื่องกรองขนาด $3 \mu\text{m}$ ลงเก็บในภาชนะที่แห้งฆ่าเชื้อแล้วและเก็บตัวอย่างไวรัสไว้เป็น inoculum ในภาชนะทดลอง เพื่อใช้เป็นตัว control ล่อไป

ขั้นตอนที่ 5 ทำไวรัสให้เข้มข้นด้วยเครื่อง Ultra-filtration ให้มีความเข้มข้น 45 เท่า เก็บไวรัสส่วนเข้มข้นในภาชนะที่แห้งฆ่าเชื้อแล้ว

ขั้นตอนที่ 6 ทำไวรัสให้บริสุทธิ์และเข้มข้นด้วยสาร ethylene oxide polymer 3-4% W/V บ่มอย่างแรง 1 ชั่วโมง

ขั้นตอนที่ 7 ทำการปั่นแยกไวรัสที่เข้มข้นและบริสุทธิ์ (concentrated purified virus) ด้วยเครื่อง Centrifuge 2800 rpm. นาน 1 ชั่วโมง

ขั้นตอนที่ 8 ถายน้ำส่วนใสที่ทำการ harvest virus-polyox paste ด้วยอุปกรณ์เฉพาะ ปรับความเข้มข้นของไวรัสให้ได้ 275 เท่า ด้วย Elution medium

ขั้นตอนที่ 9 ทำการปั่นแยกไวรัสที่ 8000 รอบ/นาที นาน 35 นาที เก็บไวรัสส่วนใสใน -70°C . สำหรับใช้เป็น inoculum

ขั้นตอนที่ 10 ไวรัสทุกขั้นตอน ทำการส่งทดสอบหาปริมาณ 140-S และ infectivity titer (TCID₅₀)

2. การทดลองเพาะไวรัสโดยใช้ purified-concentrated virus เป็น inoculum

ทำการเตรียม IPFA-3 cells suspension ในขนาดขนาด 5 ลิตร wolff ให้มีความเข้มข้น 2×10^6 เซลล์/ซีซี. inoculate ด้วย purified-concentrated virus (ไวรัสที่ได้ทำให้เข้มข้นและบริสุทธิ์) ที่เตรียมได้จากขั้นตอนที่ 9 ปริมาณ $20 \mu\text{g}/10^9$ เซลล์ (ปริมาณ 140-S เป็น μg) ปรับ pH ของน้ำยาเพาะ 7.5-7.6 เพาะที่อุณหภูมิ 37°C . ทำการเก็บไวรัสเมื่อเซลล์เกิด CPE 80-90% หลังจากนั้นเติม chloroform 0.5% V/V บ่มที่ 25°C . นาน 1 ชั่วโมง ทำการส่งตัวอย่างไวรัสหาปริมาณ 140-S และ infectivity titer (TCID₅₀/ml)

3. การทดลองเพาะไวรัสโดยใช้ raw virus เป็น inoculum เพื่อเป็นตัวเปรียบเทียบ

ทำเช่นเดียวกับข้อ 2 และทำพร้อมข้อ 2 แต่ใช้ raw virus จากขั้นตอนที่ 4 เป็น inoculum

ผลการทดลอง

จากผลการทดลองเพาะไวรัสโรคปากและเท้าเปื่อยชนิดไทยโค โดยใช้ purified-concentrated virus เป็น inoculum ในขนาด small scale เบื้องต้นปรากฏว่า antigen ที่ได้มีปริมาณ titer (TCID₅₀) และ yield (140-S) ได้ใกล้เคียงกับไวรัสที่เพาะได้โดยใช้ raw virus ดังแสดงไว้ในตารางที่ 3 และใกล้เคียงกับ production virus ที่ผลิตได้โดยวิธีปกติ (ดังแสดงไว้ในตารางที่ 4)

ตารางที่ 1 ใช้ Oudornthani/87 เป็น initial virus strain (IVS) แสดงผลของการเตรียม Refreshment virus, Oudornthani/87 seed batch และ Industrial batch เพื่อใช้เตรียมเป็น purified-concentrated virus inoculum ในภาชนะทดลอง

ตารางที่ 2 แสดงผลของ titer และ yield ของ purified-concentrated virus inoculum ที่ใช้ในภาชนะทดลอง

ตารางที่ 3 แสดงผลของไวรัสที่ได้จากการทดลอง โดยใช้ inoculum จาก purified-concentrated virus และ raw virus ที่เตรียม

TABLE 1 Stock control O189 (Oudornthani/87) 6th Pass. as IVS

Passage No.	Results			
	Culture Duration	% CPE	TCID ₅₀	140-S (μg)
O189 7 th P Refreshment	18 Hrs.	80	6.3	1.52
O189 8 th P Seed bath	18 Hrs.	93	7.3	1.97
O189 9 th P Industrial batch	18 Hrs.	90	6.7	1.46

TABLE 2 Results of Inoculum (x 275) (C & F = Clarification & Filtration)

Virus	Raw virus	C & F	Ultrafiltration (x 45)	Final virus (x 275)
TCID ₅₀ /ml	6.7	7.3	8.1	8.9
140-S (μg)	1.46	1.40	45	180

TABLE 3 Results from experimental virus

Exp. No.	Using Concentrated-purified virus as inoculum					Using raw virus as inoculum (Control)				
	Cell Counting	Culture Duration	% CPE	TCID ₅₀ /ml	140-S (μg)	Cell Counting	Culture Duration	% CPE	TCID ₅₀ /ml	140-S (μg)
1	2.1 x 10 ⁶	18 Hrs.	85	7.7	0.95	2.0 x 10 ⁶	18 Hrs.	90	6.7	1.30
2	2.0 x 10 ⁶	18 Hrs.	87	7.1	1.00	2.1 x 10 ⁶	17 Hrs.	92	7.5	1.75
3	2.0 x 10 ⁶	18 Hrs.	90	7.3	1.32	1.9 x 10 ⁶	17 Hrs.	88	6.9	1.00
4	2.1 x 10 ⁶	18 Hrs.	92	6.7	1.20	2.0 x 10 ⁶	18 Hrs.	90	7.1	1.37
5	2.2 x 10 ⁶	18 Hrs.	90	7.5	1.60	2.1 x 10 ⁶	17.5 Hrs.	89	7.3	1.21

TABLE 4 Comparison yields of type O, experimental virus and routine production virus

Experimental virus			Routine production virus		
Exp. No.	TCID ₅₀ /ml	140-S (µg)	Batch No.	TCID ₅₀ /ml	140-S (µg)
1	7.7	0.95	9103	6.7	1.30
2	7.1	1.00	9104	7.5	1.75
3	7.3	1.32	9106	6.9	1.00
4	6.7	1.20	9107	7.1	1.37
5	7.5	1.60	9108	7.3	1.21

ขึ้นมาจากรายที่ 1 และ 2

ตารางที่ 4 เปรียบเทียบผลของการผลิตไวรัสในขบวนการผลิตตามปกติโดยการใช้ raw virus เป็น inoculum กับการผลิตโดยใช้ purified concentrated virus เป็น inoculum

สรุปและวิจารณ์

จากผลการทดลองเพาะไวรัสโรคปากและเท้าเปื่อยโทโบโอ โดยการใช้ purified-concentrated virus ($\times 275$) นี้ เป็น inoculum แทนการเตรียม inoculum โดยวิธีปกติ ปรากฏว่าปริมาณ yield ที่ได้ใกล้เคียงกับวิธีการที่ผลิตในปัจจุบันมาก (ดังแสดงไว้ในตารางที่ 4) ซึ่งตรงกับผลการทดลองของ Duchesne และคณะ แต่การทดลองนี้เป็นการเริ่มต้นซึ่งไม่สมบูรณ์เพียงพอ เพราะจำนวนการทดลองยังน้อยและควรจะมีการทดลองต่อไปว่า

1. อนุภาคที่ใช้เก็บ purified-concentrated virus นี้ ในอุณหภูมิ -70°C . หรือ -196°C . อย่างไหนไวรัสจะยังคงสภาพและนำไปใช้ได้ดีกว่ากัน
2. หากเก็บไวรัสใน -196°C . จะสามารถเก็บได้นานเท่าใด จึงจะยังคงคุณสมบัติเป็น inoculum ที่ดีได้ ซึ่งในข้อนี้จะเป็นประโยชน์มาก ในการผลิตวัคซีนโรคปากและเท้าเปื่อยในอนาคต เพราะสามารถผลิตได้ทันทีตามความต้องการวัคซีนโรคปากและเท้าเปื่อย

กิตติกรรมประกาศ

ขอขอบคุณ นายสัตวแพทย์เชาอดุห์ บุญชาติ และเจ้าหน้าที่ฝ่ายทดสอบคุณภาพวัคซีน ศูนย์โรคปากและเท้าเปื่อย ที่ได้ช่วยตรวจวัดปริมาณ 140-S อนุภาค และตรวจสอบหาค่า infectivity titer จนสำเร็จล่วงไปอย่างดี

เอกสารอ้างอิง

1. Duchesne, M., Gurerche, J., Legrand, B., Proteau, M., and Colson., x. 1981. The use of highly concentrated purified (By a large scale method) and long term liquid nitrogen stored foot-and-mouth disease viruses for the preparation of vaccines/physico-chemical quality controls and potency tests after storage. Joint ESACT/IABS Meeting on the use of Heteroploid and other Cell Substrates for the Production of Biologicals, Heidelberg, F.R. Germany. Biol. Standard. 50 : 249-259 (S. Darger, Basel 1982).

การผลิตบรูเซลล่าแอนติเจนโดยใช้เครื่องเฟอร์เมนเตอร์

PRODUCTION OF BRUCELLA ANTIGEN BY FERMENTOR

อนูทิน หาญวีระพล¹ ชลลดา กำนัดมงคล¹ วุฒิพร รุ่งเวชวุฒิติยา¹

Anootin Hanveeraphon Chollada Kamnerdmongkhol

Vuthiporn Rungvetvuthivitaya

ABSTRACT

The production of Brucella antigen was developed to be cultured in the 14 litres sized fermentor (Newbrunswick) under centrolled condition for 48 hours. The PCV was equal to 40% from 3 cultures. The yield from this antigen was found to be satisfied compared with the conventional method in solid media.

บทคัดย่อ

ทดลองผลิตวัคซีนบรูเซลล่าแอนติเจนในอาหารเลี้ยงเชื้อชนิดเหลว โดยใช้เครื่องเฟอร์เมนเตอร์ขนาด 14 ลิตร ของ Newbrunswick ปริมาณหมักรอบปั่นและปริมาณอากาศให้เหมาะสม หลังจากเพาะเชื้อนาน 48 ชั่วโมงนำมาหาความเข้มข้นของเชื้อ พบว่าจากการเพาะ 3 ครั้งได้ความเข้มข้นของเชื้อ (PCV) 4% เท่ากัน เมื่อนำไปผลิตแอนติเจนชนิดโรสเบงกอล และเฟลทเอกกลิตินั้น พบว่าปริมาณแอนติเจนสำเร็จรูปต่อการผลิต 1 ครั้ง ได้ผลใกล้เคียงกับการผลิตในอาหารเลี้ยงเชื้อชนิดแข็ง 1 ครั้ง เช่นเดียวกัน

คำนำ

บรูเซลล่าแอนติเจนที่มีการผลิตในปัจจุบัน ทำโดยเพาะเชื้อบนอาหารเลี้ยงเชื้อชนิดแข็งที่บรรจุในขวดกรัซ ซึ่งจะใช้ประมาณ 400-500 ขวด ต่อการผลิตแต่ละครั้ง การผลิตโดยวิธีนี้ใช้เวลาและแรงงานค่อนข้างมาก ในการเตรียมอาหาร การเพาะเชื้อ และการเก็บล้างเชื้อ ซึ่งถ้าสามารถเพาะเชื้อในอาหารเลี้ยงเชื้อชนิดเหลวก็จะลดปัญหาดังกล่าวได้ (Alton และคณะ, 1975) จึงทำการทดลองผลิตบรูเซลล่าแอนติเจนในอาหารเลี้ยงเชื้อชนิดเหลว โดยใช้เครื่องเฟอร์เมนเตอร์ซึ่งสามารถควบคุมหมัก รอบปั่น และปริมาณอากาศได้

อุปกรณ์และวิธีการ

อุปกรณ์

1. เครื่องเฟอร์เมนเตอร์ : ใช้เครื่องเฟอร์เมนเตอร์ขนาด 14 ลิตร ของ Newbrunswick ซึ่งมีระบบควบคุมหมัก, อากาศเข้า และรอบปั่นให้ได้ตามความต้องการ
2. เชื้อที่ใช้เพาะ : ใช้ Seed บรูเซลล่า ออร์ทีส สเตรน 1119-3 ที่เพาะไว้เป็น Seed
3. Antifoam : ใช้ 3% antifoam ปริมาตร 100 ซีซี. เพื่อลดการเกิดฟองขณะปั่น ทำใบปราศจากเชื้อโดย autoclave พร้อมกับ chamber ของเครื่องเฟอร์เมนเตอร์

4. อาหารเลี้ยงเชื้อ : ประกอบด้วย

Tryptose (Lab.M)	300 กรัม
Dextrose	300 กรัม
Yeast Extract (oxid)	100 กรัม
NaH ₂ PO ₄ (anhydrous)	90 กรัม
Na ₂ HPO ₄ (anhydrous)	33 กรัม
น้ำกลั่น	10 ลิตร

ทำใบปราศจากเชื้อโดยการกรอง

¹ศูนย์ผลิตวัคซีน ปากช่อง กองผลิตวัคซีน กรมปศุสัตว์

ตารางที่ 1 การเพาะเชื้อในเครื่องเฟอร์เมนเตอร์

ปริมาณอาหารเลี้ยงเชื้อ (ลิตร)	จำนวนเชื้อที่ใช้เพาะ (ขวดกรย์)	เวลาที่ใช้ในการเพาะ (ชั่วโมง)	อุณหภูมิเพาะ (°C.)
10	10.35	48	37.38

ตารางที่ 2

Incubation Time (ชั่วโมง)	Air Flow rate (ลิตร/นาที)	Agitator Rate (รอบ/นาที)
0-8	4	200
8-24	6	200
24-32	8	250
32-48	10	300

วิธีการ

เพาะเชื้อลงในเครื่องเฟอร์เมนเตอร์ ปรับให้อุณหภูมิเท่ากับ 37°C. ตามตารางที่ 1 แล้วปรับปริมาณอากาศ และรอบขึ้นตามตารางที่ 2 เมื่อครบ 48 ชั่วโมง เก็บตัวอย่างเพื่อตรวจหาความบริสุทธิ์และความเข้มข้นของเชื้อ (PCV) นำเชื้อที่ได้มาปั่นล้างด้วย 0.5% Phenol saline solution ที่ 2500 G. นาน 90 นาที ทำเช่นนี้ 2 ครั้ง จากนั้นจึงฆ่าเชื้อด้วยวิธี water bath ที่อุณหภูมิ 80°C. นาน 90 นาที แล้วจึงเตรียมเป็นแอนติเจนชนิดไวรัสแบบกลดและเพลาแอกกลิตเนชั่น ตามวิธีของ USDA เปรียบเทียบ Sensitivity กับแอนติเจนที่ผลิตโดยวิธีเดิม (1,2,3)

ผลการทดลอง

จากการทดลองเพาะเชื้อในเครื่องเฟอร์เมนเตอร์ 3 ครั้ง พบว่าความเข้มข้นของเชื้อ (PVC) ที่ได้จากการเพาะแต่ละครั้งเท่ากันคือ 4% เมื่อนำไปเตรียมเป็นแอนติเจนสำเร็จรูป โดยเตรียมเป็นแอนติเจนชนิดไวรัสแบบกลด 2 ชุดและแอนติเจนชนิดเพลาแอกกลิตเนชั่น 1 ชุด ได้ปริมาณแอนติเจนตามลำดับดังนี้ 2,490 ซีซี., 2,200 ซีซี. และ 1,900 ซีซี. (ตารางที่ 3) แอนติเจนแต่ละชุดเมื่อนำไปทดสอบผลลักษณะต่าง ๆ เปรียบเทียบกับแอนติเจนโดยวิธีเดิมพบว่าให้ผลตรงกันตามตารางที่ 4

สรุปและวิจารณ์

จากการทดลองพบว่าปริมาณของแอนติเจนสำเร็จรูปที่ได้จากการเพาะในเครื่องเฟอร์เมนเตอร์ 1 ครั้ง ใกล้เคียงกับการเพาะในขวดกรย์ จำนวน 400-500 ขวด 1 ครั้งเช่นเดียวกัน โดยที่การผลิตด้วยเครื่องเฟอร์เมนเตอร์สะดวกกว่า ใช้เวลาและแรงงานน้อยกว่า นอกจากนี้ปริมาณอาหารเลี้ยงเชื้อที่ใช้ก็แตกต่างกันมาก การเพาะเชื้อในเครื่องเฟอร์เมนเตอร์จะใช้อาหารเพียง 10 ลิตรต่อครั้ง ขณะที่การเพาะในขวดกรย์ต้องเตรียมอาหารแต่ละครั้งประมาณ 80-100 ลิตร ต่อ 400-500 ขวด ซึ่งทำให้มีผลต่อเนื่องไปถึงต้นทุนการผลิตด้วย แต่การเพาะเชื้อโดยใช้เครื่องเฟอร์เมนเตอร์จะมีความเสี่ยงสูง นั่นคือถ้าเกิดการปนเปื้อนก็จะเสียหายหมดชุด แต่กรณีเพาะในขวดกรย์จะเสี่ยงเพียงบางส่วน ดังนั้นจึงต้องให้ความระมัดระวังอย่างยิ่ง คุณสมบัติของแอนติเจนที่ได้จากการเพาะโดยใช้เครื่องเฟอร์เมนเตอร์ทั้งชนิดไวรัสแบบกลด และเพลาแอกกลิตเนชั่นก็แตกต่างกันจากแอนติเจนที่ผลิตโดยวิธีเดิม แม้ว่าจะยังไม่ได้ทดลองผลิตเพื่อเตรียมเป็นแอนติเจนชนิดทาแอกกลิตเนชั่นแต่ก็คาดได้ว่าจะให้ผลเช่นเดียวกัน การผลิตแอนติเจนโดยใช้เครื่องเฟอร์เมนเตอร์จึงมีประโยชน์มาก เมื่อต้องการเพิ่มปริมาณการผลิต โดยสามารถลดต้นทุนแรงงานและต้นทุนการผลิตได้ส่วนหนึ่ง

ตารางที่ 3 ผลจากการผลิตแอนติเจนโดยใช้เครื่องเฟอร์เมนเตอร์ (Pack cell volume = PCV)

โรสเบงกอล	PCV (%)	ปริมาณ (ลิตร)	แอนติเจนที่ผลิตได้ (ซีซี)	sensitivity Test
ครั้งที่ 1	4	10	2,400	เป็นไปตามมาตรฐาน
ครั้งที่ 2	4	10	2,200	เป็นไปตามมาตรฐาน
ผลิตภัณฑ์เข้มข้น	4	10	1,900	เป็นไปตามมาตรฐาน

ตารางที่ 4 ผลจากการทำ Sensitivity Test เปรียบเทียบแอนติเจนที่ผลิตโดยเครื่องเฟอร์เมนเตอร์และผลิตโดยวิธีเดิม (- = Negative, + = Complete Agglutination, i = Incomplete Agglutination)

แอนติเจน	ซีรัมตัวอย่าง (โค)									
	1	2	3	4	5	6	7	8	9	10
โรสเบงกอล										
ผลิตโดยเครื่องเฟอร์เมนเตอร์										
ครั้งที่ 1	-	-	-	-	+	+	+	+	+	+
ครั้งที่ 2	-	-	-	-	+	+	+	+	+	+
ผลิตโดยวิธีเดิม	-	-	-	-	+	+	+	+	+	+
ผลิตภัณฑ์เข้มข้น										
ผลิตโดยเครื่องเฟอร์เมนเตอร์	-	-	+	+	++i	++i	+++	+++	++++	++++
ผลิตโดยวิธีเดิม	-	-	+	+	++i	++i	+++	+++	++++	++++

เอกสารอ้างอิง

1. Alton, G.G., Jones, L.M., Pietz, D.E. (1975) : Laboratory Techniques in Brucellosis. World Health Organization. Monograph series No.55 P 65-70.
2. Pietz, D.E., Angus. E.D., (1976) : Method for the preparation of Brucella Abortus strain 1119-3 cultures original seed : VSL Diagnostic. Reagents Production Guide No. R-16.
3. Pietz, D.E., Angus. E.D., (1976) : Method for the preparation of Brucella Abortus strain 1119-3 for the production of Antigens. VSL Diagnostic Reagents Production Guide No. R-00.
4. Porner, L.A., and Alton, G.G. : The persistence of Brucella abortus Strain 19 infection in adult cattle vaccinated with reduced doses. (Personal Communication).

ศึกษาการผลิตวัคซีนบรูเซลโลซิสชนิดลดโดส

STUDY OF REDUCED DOSE BRUCELLOSIS VACCINE PRODUCTION

อนูทิน นายวีระพล¹ วุฒิพร รุ่งเวชวุฒิชัย¹ จันทร์ทิพย์ แสงทอง¹
Anootin Hanveeraphon Vuthiporn Rungvetvuthivitaya Chantip Saengtong

ABSTRACT

The experimental vaccine production of Brucellosis strain 19 for non vaccinated heifer and non vaccinated cow was studied by reducing the amount of antigen to $1-3 \times 10^8$ organisms/2 cc./dose. The vaccine was qualified through viability test, dissociation test, purity test and safety test.

บทคัดย่อ

ทดลองผลิตวัคซีนบรูเซลโลซิสสเตรน 19 สำหรับใช้ในโคสาวและแม่โคที่ไม่เคยได้รับการฉีดวัคซีนมาก่อน โดยลดจำนวนเชื้อลดโดสลงก่อนที่จะทำเป็นวัคซีนลดโดส นั้นคือจะมีเชื้อที่เข้มข้นอยู่ระหว่าง $1-3 \times 10^8$ ตัว/โดส โดยที่ปริมาณวัคซีนลดโดส 2 ซีซี. เท่าเดิม หลังจากที่ได้วัคซีนสำเร็จรูป ได้ทำการทดสอบวัคซีนดังนี้ : Viability test, Dissociation test, Purity test และ Safety test พบว่าวัคซีนผ่านการทดสอบ

คำนำ

วัคซีนบรูเซลโลซิสสเตรน 19 ที่ผลิตโดยกรมปศุสัตว์มีข้อกำหนดให้ใช้เฉพาะลูกโคเพศเมียที่มีอายุระหว่าง 3-8 เดือน เนื่องจากระดับแอนติบอดีในแอนติบอดีที่เกิดขึ้นจะลดลงหลังจากฉีดวัคซีนภายใน 30 เดือน (WHO) ทำให้ยังต้องทำการวินิจฉัยโรคภายหลัง สำหรับโคสาวหรือแม่โคที่ไม่เคยได้รับการฉีดวัคซีนมาก่อน จะไม่แนะนำให้ใช้วัคซีนชนิดนี้ เพราะแอนติบอดีที่เกิดขึ้นจะก่อผลลบไป ทำให้สับสนในการวินิจฉัยโรค ได้มีการทดลองฉีดวัคซีนที่เจือจางจนมีจำนวนเชื้อ $1-3 \times 10^8$ ตัว/โดส นั้นคือประมาณ 400 เท่าจากวัคซีนปกติให้แก่โคสาวและแม่โค พบว่าสามารถให้ความคุ้มโรคได้ และระดับแอนติบอดีที่เกิดขึ้นจะลดลงภายหลังการฉีดไม่ทำให้สับสนในการวินิจฉัยโรค (1),(2),(3),(4) นับได้ว่าเป็นวิธีการป้องกันโรคบรูเซลโลซิสอีกวิธีหนึ่ง ดังนั้นจึงได้มีการทดลองผลิตวัคซีนบรูเซลโลซิสชนิดลดโดสสำหรับฉีดให้แก่โคสาวและแม่โคที่ไม่เคยฉีดวัคซีนมาก่อน โดยทำให้นับปริมาณเชื้อลดและวิธีใช้เช่นเดียวกับวัคซีนปกติเพื่อสะดวกในการใช้ในท้องที่

อุปกรณ์และวิธีการ

อุปกรณ์

- Seed : บรูเซลล่า ออรัลส์ สเตรน 19 จาก USDA
- อาหารเลี้ยงเชื้อ : Tryptose agar บรรจุในขวดกรูว์ (Roux Bottle)
- Stabilizer : ประกอบด้วย Enzymatic digest ซีโรส 5% และไรเดียมกลูตาเมต 1% ละลายในน้ำกลั่น ทำให้ปราศจากเชื้อโดยการกรอง
- สัตว์ทดลอง : นนตะเป่าเพศผู้ น้ำหนักระหว่าง 300-400 กรัม จำนวน 4 ตัว

วิธีการ

เพาะเชื้อบรูเซลล่า ออรัลส์ สเตรน 19 บน Tryptose agar ที่บรรจุในขวดกรูว์ที่อุณหภูมิ 37°C . นาน 48 ชั่วโมง ล้างเชื้อที่เพาะได้ด้วย Stabilizer แล้วเก็บรวมกันเพื่อตรวจสอบการปนเปื้อน จากนั้นจะนำส่วนที่ผ่านการตรวจสอบมาหาความเข้มข้นของเชื้อโดยหาค่า Pack Cell Volume (PCV) นำค่าที่ได้ไปคำนวณหาจำนวนเชื้อต่อซีซี. แล้วเจือจางด้วย Stabilizer เพื่อให้จำนวนเชื้ออยู่ระหว่าง $1-3 \times 10^8$ ตัว/โดส นั้นคือประมาณ 400 เท่าจากวัคซีนปกติ ($40-120 \times 10^9$ ตัว/โดส) บรรจุขวด ละ 2 ซีซี. นำไปทำเป็นวัคซีนชนิดหนึ่ง แล้วทดสอบคุณภาพและลักษณะของวัคซีนดังนี้ Viability, Purity Test, Dissociation Test และ Safety Test

ผลการทดลอง

วัคซีนชนิดลดไวรัสที่ผลิตได้เมื่อละลายด้วยน้ำยาละลาย 10 ซีซี. แล้วนำวัคซีน 1 โดส (2 ซีซี.) ไปหา Viability พบว่าจำนวนเชื้อ 2×10^8 ตัว/โดส ซึ่งอยู่ในมาตรฐาน (ตารางที่ 1) จากการตรวจสอบอื่น ๆ ไม่พบว่าเชื้อปนเปื้อนและไม่พบว่าการเปลี่ยนแปลงลักษณะของโคโลนี จากการทำ Safety Test โดยฉีดวัคซีนชนิดลดไวรัสให้แก่หนูตะเภาในขนาดเดียวกับที่ฉีดให้แก่โคสาวหรือแม่โค พบว่าระดับแอนติบอดี แอนติบอดี และจำนวนเชื้อที่ตรวจพบในน้ำมูกอยู่ในมาตรฐานที่กำหนด (ตารางที่ 2) และเมื่อทำเป็นวัคซีนสำเร็จรูปสามารถนำไปใช้ได้สะดวกเช่นเดียวกับวัคซีนเต็มโดส (ตารางที่ 3)

ตารางที่ 1 จำนวนเชื้อวัคซีนลดไวรัส

จำนวนเชื้อก่อนเจือจาง (ตัว/โดส)	จำนวนเชื้อหลังเจือจาง (ตัว/โดส)	จำนวนเชื้อหลังทำการคั่นทิ้ง (ตัว/โดส)	ปริมาณเนื้อวัคซีน (ซีซี.)
120×10^9	3×10^8	2×10^8	2

ตารางที่ 2 ผลการทดสอบวัคซีนลดไวรัส

Viable Count (ตัว/โดส)	Dissociation Test	Agglutinating Antibody จากหนูตะเภา (1 μ /ml)	ปริมาณเนื้อวัคซีน (ตัว/กรัม)
2×10^8	Smooth Colony	➤ 1,000	➤ 5×10^5

ตารางที่ 3 การใช้วัคซีนลดไวรัส

บรรจขवालละ	น้ำยาละลาย	ฉีดโคเพศเมียตัวละ	วิธีใช้
5 โดส	10 ซีซี.	2 ซีซี.	ฉีดเข้าใต้หนัง

สรุปและวิจารณ์

จากการทดลองนี้เป็นการศึกษาการทวีคูณในการผลิต เพื่อให้ได้วัคซีนบรเซลล์ไวรัสในขนาดลดไวรัสที่จำนวนเชื้อตามที่กำหนดโดยที่วัคซีนที่ผลิตได้เมื่อทำการทดสอบและทำการคั่นทิ้งแล้วยังคงอยู่ในมาตรฐาน การผลิตเพื่อให้ได้จำนวนเชื้อตามมาตรฐานวัคซีนบรเซลล์ไวรัสชนิดลดไวรัสในปริมาณที่กำหนดและทำการละลายด้วยน้ำยาละลายจำนวนไม่มาก เป็นการผลิตเพื่อให้ได้วัคซีนชนิดลดไวรัสสำเร็จรูปที่มีใช้สามารถนำไปใช้ได้โดยสะดวก ซึ่งสามารถฉีดให้แก่โคสาวและแม่โคที่ไม่เคยได้รับการฉีดวัคซีนบรเซลล์ไวรัสมาก่อน อันเป็นวิธีป้องกันโรคบรเซลล์ไวรัสที่ก่อขึ้นหนึ่ง ทำให้การฉีดวัคซีนบรเซลล์ไวรัสและการป้องกันโรคบรเซลล์ไวรัสซึ่งจะสามารถทำได้กว้างขวางขึ้น แม้ว่าในการทดลองครั้งนี้ได้มีการนำไปฉีดโคเพื่อระดับแอนติบอดี แอนติบอดี แต่จากการทดลองของวิหุร และคณะ (2528) ซึ่งได้ทดลองฉีดวัคซีนขนาดเจือจาง 400 เท่าให้กับโคสาว จำนวน 14 ตัว พบว่าแอนติบอดี แอนติบอดี ที่เกิดจากวัคซีนจะลดลงจนไม่ทำให้มีปัสสาวะในภาวการณ์ฉีดยาภายใน 4 เดือน ซึ่งก็สอดคล้องกับรายงานของ Deyoe et. al (Personal Communication), Alton et. al (1980) ที่ทำการทดลองฉีดวัคซีนลดไวรัสที่มีจำนวนเชื้อระหว่าง $1-3 \times 10^8$ ตัว/โดส หรือเจือจางประมาณ 400 เท่าให้กับโคสาวและโคตั้งท้อง ทำให้สามารถลดปัญหาในการฉีดยาโรคบรเซลล์ไวรัสลงได้ ในขณะที่ยังชีพอีกผู้หนึ่งโรคได้ไม่ต่างไปจากการฉีดวัคซีนบรเซลล์ไวรัสชนิดเต็มโดสใน

ลูกโค อย่างไรก็ดีตามวัคซีนบรูเซลโลซิสชนิดลดโดสในส่วนของการทดสอบประสิทธิภาพของวัคซีนโรค, ระยะยาวนานของวัคซีนโรค ยังเป็นสิ่งที่น่าสนใจ และน่าศึกษาต่อไป

เอกสารอ้างอิง

1. Alton, G.G., Corner, L.A., and Plackett, P. (1980) : Vaccination of pregnant cows with low doses of *Brucella abortus* strain 19 vaccine Australian Veterinary Journal, Vol 56 P. 369-372.
2. Alton, G.G., and Corner, L.A. ; Vaccination of heifer before first mating with a reduced dose of *Brucella abortus* Strain 19 vaccine (Personal Communication).
3. Corner, L.A., and Alton, G.G. : The persistence of *Brucella abortus* Strain 19 infection in adult cattle vaccinated with reduced doses. (Personal Communication).
4. Deyoe, B.L., Dorsey, T.A., and Meredith, K.B. : Effect of reduced dosage of *Brucella abortus* strain 19 in cattle vaccinated as yearlings (Personal Communication)
5. วุฒิชัย รุ่งเรืองสัตววิทยา, ชลดา นพาวรรณ (2528) การฉีดวัคซีนบรูเซลโลซิส สเตรน 19 ชนิดเจือจางในโคสาวก่อนผสมพันธุ์ เอกสารเผยแพร่วิชาการ เรื่องที่ 3 งานบรูเซลโลซิส กองผลิตชีวภัณฑ์ กรมปศุสัตว์

Table with 4 columns: Seed, Stabiliser, and other parameters. The text is mostly illegible due to blurriness.

Seed	Stabiliser	Other parameters
Seed	Stabiliser	Other parameters

Additional text at the bottom of the page, including a signature and date, which is mostly illegible.

การศึกษาเปรียบเทียบประสิทธิภาพของวัคซีน ไข้ขาในแกะและสัตว์ทดลองขนาดเล็ก

COMPARATIVE POTENCY TEST OF BLACKLEG VACCINE IN SHEEP AND SMALL LABORATORY ANIMAL

โสภณ ท้วมแสง¹ นิเทศ เลิศลิ้มชลาสัย¹ วุฒิพร รุ่งเวชวุฒิวิตยา¹
Sopon Tuamsang Niteth Lertlimchalalai Vuthiporn Rungvetvuthivitaya

ABSTRACT

The potency test of Blackleg vaccine was conducted in mice compared with sheep. The vaccine was given to mice (0.25 ml) intraperitoneally 4 times on 2 consecutive days. Mice were then challenged with virulent *Clostridium chauvoei* 10 days after the last injection. The sheep was injected with field dose of vaccine subcutaneously and challenged 14 days after vaccination. The result showed the protective correlation between mice and sheep.

บทคัดย่อ

การทดสอบประสิทธิภาพของวัคซีนแบคทีเรีย (วัคซีนโรคไข้ขา) โดยฉีดวัคซีนแบคทีเรียของกรมปศุสัตว์เข้าช่องท้อง (Intraperitoneum) ในหนูขาว 4 ครั้ง แต่ละครั้งห่างกันครั้งละ 2 วัน แล้วฉีดเชื้อพิษทစ်หลังจากฉีดวัคซีนครั้งสุดท้าย 10 วัน เปรียบเทียบกับการฉีดวัคซีนแบคทีเรียในแกะด้วยขนาดโดสในท้องที่เข้าโดสหนึ่งแล้วฉีดพิษทစ်หลังจากฉีดวัคซีน 14 วัน พบว่าหนูและแกะที่ฉีดวัคซีนสามารถคุ้มโรคได้เมื่อเปรียบเทียบกับกลุ่มควบคุม

คำนำ

วัคซีนแบคทีเรีย (วัคซีนโรคไข้ขา) ของกรมปศุสัตว์ที่ผลิตจากเชื้อโคลอสต์เดียมไฮวอย (Clostridium chauvoei) ชนิดท้องถิ่น (local strain) เพื่อป้องกันโรคแบคทีเรียที่มีมาตรฐานการผลิตโดยใช้ค่า PCV (Packed cell volume) ซึ่งแสดงค่าความเข้มข้นของเชื้อที่เจริญเติบโตของวัคซีนต้องไม่น้อยกว่า 0.26% การทดสอบประสิทธิภาพของวัคซีนในสัตว์เป้าหมายอื่นได้นัก ว่า ค่าย แพะ และ ทำให้เห็นผลการผลิตวัคซีนส่งขึ้นตามราคาของสัตว์ทดลอง ดังนั้นจึงได้นำสัตว์ทดลองขนาดเล็ก เช่น หนู Mice มาทำการทดลองประสิทธิภาพของวัคซีน โดยวิธี Mouse protection test (Y. TAHURA และคณะ, 1986)

อุปกรณ์และวิธีการ

อุปกรณ์

1. วัคซีน วัคซีนที่ใช้เป็นวัคซีนแบคทีเรีย ผลิตภัณฑ์ผลิตชีวภัณฑ์ อ่างเภสัชภัณฑ์ เป็นวัคซีนเชื้อตาย โดยใช้ *Clostridium chauvoei* (local strain) เป็นเชื้อที่เพาะตามมาตรฐาน PCV (Packed cell volume)

2. เชื้อพิษ เชื้อพิษแบคทีเรียทစ်หนึ่ง เตรียมโดยเพาะเชื้อ *Clostridium chauvoei* (local strain) เพาะเชื้อลงใน cooked meat medium ที่เตรียมจากเนื้อสัตว์ตามสูตรที่ผลิตวัคซีนของกรมปศุสัตว์ ลงในตู้บ่ม 37°C. เป็นเวลา 18-24 ชั่วโมง นำเชื้อที่ขึ้นหนาเต็ม Booster media พร้อมทั้งปรับ pH ให้ได้ 7.2 และอบในตู้บ่มอีก 24-48 ชั่วโมง และนำเชื้อใน Water bath อุณหภูมิ 70°C. เป็นเวลา 30 นาที หลังจากนั้นนำบัพั่นและล้างด้วย PBS (phosphate buffer saline) ขนาด 3,100 รอบต่อนาทีเป็นเวลา 30 นาที จำนวน 3 ครั้ง เก็บเชื้อครั้งสุดท้ายมาใส่ 10% Skin milk แล้วนำไปเจกลงขนาดขนาด 2 มิลลิลิตร เข้าเครื่องทစ်บับ เก็บเป็นเชื้อพิษ นำไปนับจำนวนเชื้อได้ 648,000 CFU ต่อมิลลิลิตร โดยวิธีดังนี้

- 2.1 ใส่ Suspension ของเชื้อซึ่งทำเป็น dilution ไว้บน petri-dish 1 มิลลิลิตร
- 2.2 เติม CLA (cystein liver agar) ตามสูตร 15 มิลลิลิตร เขย่าให้เข้ากัน ตั้งทิ้งไว้ในห้อง (5 นาที)
- 2.3 ใส่ CLA อีก 5 มิลลิลิตร แล้ววางส่วน body ของ petri-dish ทစ်ลงไปด้วยของมาขึ้น
- 2.4 เติม CLA 5 มิลลิลิตร ลงในช่องระหว่าง body กับ cover ของ petri-dish นั้น

¹ศูนย์ผลิตชีวภัณฑ์ ภาควิชา ก่อผลผลิตชีวภัณฑ์ กรมปศุสัตว์

2.5 นำมา plate ขนาดใหญ่มาปิดกันการปนเปื้อนของเชื้อตัวอื่น นำเข้าอยู่ที่ 37°C. ในตู้บอซรวมเวลา 24 ชั่วโมง อ่านผล

สูตรการเตรียม CLA (Cystern liver agar)

Liver infusion broth	100 %
Peptone	3
Dextrose	0.5 %
NaCl	0.5 %
L-Cystein Monohydrochloride	0.5 %

* เชื้อพิษเมื่อจัดในสัตว์ทดลองต้องใช้ 3% CaCl₂ เป็นตัวทำลายยา

3. สัตว์ทดลอง

หนู Mice น้ำหนัก 16-20 กรัม จากฝ่ายเพาะเลี้ยงสัตว์ทดลอง จำนวน 370 ตัว

แกะ ใช้แกะรุ่นอายุประมาณ 4-6 เดือน จากฝ่ายเพาะเลี้ยงสัตว์ทดลองสมัยผลิตซ้ำกัน ซึ่งยังไม่เคยฉีดวัคซีนแบคทีเรีย จำนวน 42 ตัว

วิธีการ

- ศึกษา Minimum lethal dose ของเชื้อพิษแบคทีเรียในหนู Mice โดยฉีดในหนู Mice แต่ละกลุ่ม ด้วยขนาด 1; 13; 137; 1,370 และ 13,700 CFU ต่อได้ผลตามลำดับ
- ศึกษา Minimum lethal dose ของเชื้อพิษแบคทีเรียในแกะ โดยฉีดในแกะแต่ละกลุ่มด้วยขนาด 12,960 ; 129,600 และ 1,296,000 CFU ต่อได้ผลตามลำดับ
- ศึกษาประสิทธิภาพของวัคซีนแบคทีเรียในหนู ฉีดหนู Mice ด้วยวัคซีนแบคทีเรียเลขที่ 6/33, 7/33, 1/34, 2/34, 3/34, 4/34, 5/34, และ 6/34 รวม 8 ชุด ๆ ละ 20 ตัว โดยการฉีดเข้าช่องท้องด้วยขนาด 0.25 มิลลิลิตร 4 ครั้ง แต่ละครั้งห่างกัน 2 วัน หลังการฉีดวัคซีนครั้งสุดท้าย 10 วัน นำหนู Mice เหล่านี้มาฉีดเชื้อพิษด้วยขนาด 100 LD โดยหนู Mice 20 ตัวต่อชุดเป็นกลุ่มควบคุม (ไม่ได้ฉีดวัคซีน) ผลหลังจากฉีดเชื้อพิษทั้ภายใน 7 วัน
- ศึกษาประสิทธิภาพของวัคซีนแบคทีเรียในแกะ ฉีดแกะด้วยวัคซีนแบคทีเรียเลขที่ 6/33, 7/33, 1/34, 2/34, 3/34, 4/34, 5/34 และ 6/34 รวม 8 ชุด ๆ ละ 3 ตัว โดยการฉีดเข้าใต้หนังด้วยขนาดได้สี่หลอดที่ (2.5 มิลลิลิตร) หลังจากนั้น 14 วัน นำมาฉีดแบคทีเรียด้วยขนาด 100 LD โดยมีแกะจำนวน 3 ตัวเป็นกลุ่มควบคุม (ไม่ได้ฉีดวัคซีน) ผลหลังจากฉีดเชื้อพิษทั้ภายใน 7 วัน

ผลการทดลอง

ตารางที่ 1 แสดง Minimum lethal dose ของเชื้อพิษแบคทีเรียในหนูขาว

จำนวนหนู (ตัว)	Challenged dose (CFU/dose)	Mortality rate (%)
10	13,700	100
10	1,370	100
10	137	100
10	13	100
10	1	0

ตารางที่ 2 แสดง Minimum lethal dose ของเชื้อพิษแบล็คเลกในแกะ

จำนวนแกะ (ตัว)	Challenged dose (CFU/dose)	Mortality rate (%)
5	1,296,000	100
5	129,600	100
5	12,600	0

ตารางที่ 3 แสดงประสิทธิภาพของวัคซีนแบล็คเลกในกลุ่มหนูขาวที่ฉีดวัคซีน และกลุ่มควบคุม (Control) ต่อเชื้อพิษแบล็คเลก

วัคซีนชุดที่	อัตราการรอดของ กลุ่มที่ฉีดวัคซีน (%)	อัตราการรอดของ กลุ่มควบคุม (Control) (%)
6/33	100	20
7/33	80	20
1/34	90	10
2/34	80	10
3/34	100	10
4/34	80	0
5/34	100	10
6/34	80	0

ตารางที่ 4 แสดงประสิทธิภาพของวัคซีนแบล็คเลกในกลุ่มแกะที่ฉีดวัคซีน และกลุ่มควบคุม (Control) ต่อเชื้อพิษแบล็คเลก

วัคซีนชุดที่	อัตราการรอดของ กลุ่มที่ฉีดวัคซีน (%)	อัตราการรอดของ กลุ่มควบคุม (Control) (%)
6/33	100	0
7/33	100	0
1/34	100	0
2/34	100	0
3/34	100	0
4/34	100	0
5/34	100	0
6/34	100	0

จากตารางที่ 1 พบว่า Minimum lithal dose ของเชื้อพิษแบคทีเรียที่ทำให้หนู Mice เสียชีวิต มีขนาด 13 CPU ต่อโดส และ Minimum lethal dose ในเชื้อพิษชนิดเดียวกันที่หนูจะตาย มีขนาด 129,000 CPU ต่อโดส (ตารางที่ 2)

จากตารางที่ 3 ในกลุ่มหนู Mice ที่ฉีดวัคซีนแบคทีเรียในแต่ละชุด แล้วนำไปฉีดพิษด้วยขนาด 100 LD มีอัตราการรอดอยู่ระหว่าง 80-100 เปอร์เซ็นต์ ในขณะที่กลุ่มไม่ได้ฉีดวัคซีน (กลุ่ม Control) มีอัตราการรอดอยู่ระหว่าง 0-20 เปอร์เซ็นต์ และมีอัตราการตาย 80-100 เปอร์เซ็นต์

ในภายหลังฉีดวัคซีนแบคทีเรียในแต่ละชุดแล้วนำไปฉีดพิษด้วยขนาด 100 เปอร์เซ็นต์ เมื่อเทียบกับควบคุมพบว่าอัตราการตาย 100 เปอร์เซ็นต์ เนื่องจากไม่ได้ฉีดวัคซีน (ตารางที่ 4)

สรุปและวิจารณ์

จากการทดลองสามารถหาขนาดปริมาณของเชื้อพิษแบคทีเรียที่ทำให้หนู Mice และจะตาย (ตารางที่ 1 และ 2) และได้นำมาใช้ในการทดลองประสิทธิภาพของวัคซีนแบคทีเรีย โดยการฉีดพิษให้หนู Mice และแก่ที่ฉีดวัคซีนด้วยขนาด 100 เท่าของ Lethal dose ในสัตว์แต่ละกลุ่ม พบว่าการทดสอบประสิทธิภาพของวัคซีนแบคทีเรียในหนู Mice ได้ผลดี (ตารางที่ 3) ซึ่งสอดคล้องกับ Y. TANURA (1986) ที่พบว่าประสิทธิภาพของวัคซีนแบคทีเรียในผู้คนที่ทดลองในหนูมีอัตราการรอด 60 เปอร์เซ็นต์ หลังได้รับเชื้อพิษ

การทดสอบวัคซีนแบคทีเรียในสัตว์ทดลองขนาดเล็ก เช่น หนู Mice จะให้ผลดีเช่นเดียวกับการทดลองในแกะซึ่งเป็นสัตว์ขนาดใหญ่ (ตารางที่ 3 และ 4) ดังนั้นสามารถลดต้นทุนค่าใช้จ่ายได้โดยนำการทดสอบประสิทธิภาพของวัคซีนในสัตว์ทดลองขนาดเล็ก เช่น หนู Mice มาใช้แทนสัตว์ทดลองขนาดใหญ่ได้

เอกสารอ้างอิง

1. Report of Department of Ministry of Agriculture, Forestry and Fisheries. 1972. pp 99-100. In : Minimum Requirements for Biological Products for Animal Use, Tokyo (in Japanese).
2. Tanura, Y. : Makie, G., and Tanaka, M. 1986. Correlation between the in direct hemagglutinating antibody and protection of mice against Clostridium chauvoei : pp 1249-1251.

ตารางที่ 1

Challenge dose (CPU)	Survival rate (%)
0	100
13	100
26	100
39	100
52	100
65	100
78	100
91	100
104	100
117	100
130	100
143	100
156	100
169	100
182	100
195	100
208	100
221	100
234	100
247	100
260	100
273	100
286	100
299	100
312	100
325	100
338	100
351	100
364	100
377	100
390	100
403	100
416	100
429	100
442	100
455	100
468	100
481	100
494	100
507	100
520	100
533	100
546	100
559	100
572	100
585	100
598	100
611	100
624	100
637	100
650	100
663	100
676	100
689	100
702	100
715	100
728	100
741	100
754	100
767	100
780	100
793	100
806	100
819	100
832	100
845	100
858	100
871	100
884	100
897	100
910	100
923	100
936	100
949	100
962	100
975	100
988	100
1001	100
1014	100
1027	100
1040	100
1053	100
1066	100
1079	100
1092	100
1105	100
1118	100
1131	100
1144	100
1157	100
1170	100
1183	100
1196	100
1209	100
1222	100
1235	100
1248	100
1261	100
1274	100
1287	100
1300	100
1313	100
1326	100
1339	100
1352	100
1365	100
1378	100
1391	100
1404	100
1417	100
1430	100
1443	100
1456	100
1469	100
1482	100
1495	100
1508	100
1521	100
1534	100
1547	100
1560	100
1573	100
1586	100
1599	100
1612	100
1625	100
1638	100
1651	100
1664	100
1677	100
1690	100
1703	100
1716	100
1729	100
1742	100
1755	100
1768	100
1781	100
1794	100
1807	100
1820	100
1833	100
1846	100
1859	100
1872	100
1885	100
1898	100
1911	100
1924	100
1937	100
1950	100
1963	100
1976	100
1989	100
2002	100
2015	100
2028	100
2041	100
2054	100
2067	100
2080	100
2093	100
2106	100
2119	100
2132	100
2145	100
2158	100
2171	100
2184	100
2197	100
2210	100
2223	100
2236	100
2249	100
2262	100
2275	100
2288	100
2301	100
2314	100
2327	100
2340	100
2353	100
2366	100
2379	100
2392	100
2405	100
2418	100
2431	100
2444	100
2457	100
2470	100
2483	100
2496	100
2509	100
2522	100
2535	100
2548	100
2561	100
2574	100
2587	100
2600	100
2613	100
2626	100
2639	100
2652	100
2665	100
2678	100
2691	100
2704	100
2717	100
2730	100
2743	100
2756	100
2769	100
2782	100
2795	100
2808	100
2821	100
2834	100
2847	100
2860	100
2873	100
2886	100
2899	100
2912	100
2925	100
2938	100
2951	100
2964	100
2977	100
2990	100
3003	100
3016	100
3029	100
3042	100
3055	100
3068	100
3081	100
3094	100
3107	100
3120	100
3133	100
3146	100
3159	100
3172	100
3185	100
3198	100
3211	100
3224	100
3237	100
3250	100
3263	100
3276	100
3289	100
3302	100
3315	100
3328	100
3341	100
3354	100
3367	100
3380	100
3393	100
3406	100
3419	100
3432	100
3445	100
3458	100
3471	100
3484	100
3497	100
3510	100
3523	100
3536	100
3549	100
3562	100
3575	100
3588	100
3601	100
3614	100
3627	100
3640	100
3653	100
3666	100
3679	100
3692	100
3705	100
3718	100
3731	100
3744	100
3757	100
3770	100
3783	100
3796	100
3809	100
3822	100
3835	100
3848	100
3861	100
3874	100
3887	100
3900	100
3913	100
3926	100
3939	100
3952	100
3965	100
3978	100
3991	100
4004	100
4017	100
4030	100
4043	100
4056	100
4069	100
4082	100
4095	100
4108	100
4121	100
4134	100
4147	100
4160	100
4173	100
4186	100
4199	100
4212	100
4225	100
4238	100
4251	100
4264	100
4277	100
4290	100
4303	100
4316	100
4329	100
4342	100
4355	100
4368	100
4381	100
4394	100
4407	100
4420	100
4433	100
4446	100
4459	100
4472	100
4485	100
4498	100
4511	100
4524	100
4537	100
4550	100
4563	100
4576	100
4589	100
4602	100
4615	100
4628	100
4641	100
4654	100
4667	100
4680	100
4693	100
4706	100
4719	100
4732	100
4745	100
4758	100
4771	100
4784	100
4797	100
4810	100
4823	100
4836	100
4849	100
4862	100
4875	100
4888	100
4901	100
4914	100
4927	100
4940	100
4953	100
4966	100
4979	100
4992	100
5005	100
5018	100
5031	100
5044	100
5057	100
5070	100
5083	100
5096	100
5109	100
5122	100
5135	100
5148	100
5161	100
5174	100
5187	100
5200	100
5213	100
5226	100
5239	100
5252	100
5265	100
5278	100
5291	100
5304	100
5317	100
5330	100
5343	100
5356	100
5369	100
5382	100
5395	100
5408	100
5421	100
5434	100
5447	100
5460	100
5473	100
5486	100
5499	100
5512	100
5525	100
5538	100
5551	100
5564	100
5577	100
5590	100
5603	100
5616	100
5629	100
5642	100
5655	100
5668	100
5681	100
5694	100
5707	100
5720	100
5733	100
5746	100

การวัดหาปริมาณ 140-S อนุภาคสมบูรณ์ ของไวรัสโรคปากและเท้าเปื่อย

MEASURING THE QUANTITY OF 140-S THE COMPLETE PARTICLES OF FOOT-AND-MOUTH DISEASE VIRUSES

มนตรี มนต์มธุรพจน์¹ ชาวาทย์ บุญมาติด¹

Montri Montmaturapoj Chawarit Bunmatid

ABSTRACT

In the production of Foot and Mouth Disease virus type O, A, As-1 in the biogenerator level industrial scale the amount of 140-S particle were measured by sucrose gradient ultracentrifuge method. This method was satisfied and was used as a standard method in the vaccine quality control of FMD center.

บทคัดย่อ

ปัจจุบันการผลิตวัคซีนโรคปากและเท้าเปื่อยชนิดโพ้ โอ เอ เอเซียัน แบบซีเป็นขั้นโดยใช้ถังเพาะขนาดอุตสาหกรรมนั้น การตรวจคุณภาพวัคซีนในขั้นตอนการผลิตโดยการตรวจหาปริมาณอนุภาคสมบูรณ์ 140-S โดยวิธี sucrose gradient ultracentrifuge นั้น ได้ผลเป็นที่น่าพอใจและใช้เป็นวิธีมาตรฐานของการตรวจสอบขั้นตอนการผลิตวัคซีนของศูนย์โรคปากและเท้าเปื่อย

คำนำ

ไวรัสโรคปากและเท้าเปื่อยจำแนกอยู่ในตระกูล Picornaviridae และเป็น acid sensitive members ของ Aphovirus genus ลักษณะของอนุภาค (virion) เป็นแบบ Icosahedron ที่ไม่มี envelope อนุภาคมีเส้นผ่าศูนย์กลางประมาณ 27-28 นาโนเมตร (nm), มีน้ำหนักโมเลกุล (molecular weight) 8×10^6 dalton เปลือกหุ้มโปรตีน (capsid protein) หรือ capsomer มี 60 copies แต่ละ copies ประกอบด้วย polypeptides ที่สำคัญ 4 ชนิด คือชนิด VP1, VP2, VP3 และ VP4 กรดนิวคลีอิก (Nucleic acid) ของไวรัสปากและเท้าเปื่อยเป็นชนิด RNA เส้นเดี่ยว (Single-strand RNA) มีน้ำหนักโมเลกุล $2-3 \times 10^6$ dalton

อนุภาคสมบูรณ์ของไวรัสโรคปากและเท้าเปื่อยมีค่า Sedimentation coefficient = 140 (S) และเป็นที่ยอมรับกันว่าอนุภาค 140-S เป็นตัวกระตุ้นให้เกิดความคุ้มต่อโรค (Immunogenic component) (7) ด้วยเหตุผลในการตรวจหาปริมาณ 140-S ใน virus suspension จึงเป็นสิ่งสำคัญอย่างยิ่งที่จะเป็นตัวกำหนดปริมาณ 140-S ต่อทุก ๆ ลิตรทุก ๆ ลิ้นของวัคซีน เนื่องจากคุณสมบัติของ 140-S ดังได้กล่าวแล้ว

การวัดหาปริมาณ 140-S ใน Virus suspension กระทำโดยวิธี ultracentrifugation sucrose density gradients (เทคนิค ซึ่ง Barteling, Melen (2) และ Doel และคณะ (3, 4) ได้รายงานไว้ โดยหลักการที่ว่า virus preparation เมื่อถูกเหวี่ยงแยก (Centrifuge) ใน sucrose gradient ด้วยความเร็วสูง (ultracentrifugation) ขนาดของ UV-absorption peak จะสัมพันธ์กับปริมาณของ 140-S เสมอ พื้นที่ของ peak จะเป็นสัดส่วนกับปริมาณของ 140-S ในตัวอย่างที่วัด

อุปกรณ์และวิธีการ

การเตรียมไวรัส (Virus preparation) และ gradients

ไวรัส 3 โทป์ คือ O-189, A-132, As-1, ผลิตได้จาก IPFA-3 cell โดยวิธี suspension cell culture ในถังเพาะขนาด 3,200 ลิตร ไวรัสที่ได้ออก (Raw virus) นำมาแยกตะกอนเซลล์ออกโดยการปั่นแยก (Centrifuge) ที่ 3,000 รอบเป็นเวลา 10 นาที ที่ 4°C.

Gradients เตรียมโดยใช้ 15% และ 45% sucrose ใน Tris-buffer โดยใช้ sucrose gradient former เป็นอุปกรณ์ในการเตรียม, gradient ตกเตรียมใน tube ของ Beckman รุ่น SW-41 (ultraclean), gradients ที่เตรียมสามารถเก็บใน -20°C. เพื่อเตรียมไว้ใช้ในโอกาสต่อไปได้

¹ศูนย์โรคปากและเท้าเปื่อย กองผลิตวัคซีน กรมปศุสัตว์

Centrifugation Conditions

ตัวอย่างไวรัสที่จะทำการวัดหาปริมาณ ใช้ปริมาณ 2 ซีซี. ใส่ลงใน gradient คือ tube ปริมาณที่ถูกต้องแน่นอนสามารถกระทำได้โดยการชั่งอย่างละเอียด หลังจากนั้นปั่นที่ 16,000 รอบ/นาที (rpm) เป็นเวลา 17 ชั่วโมง หรือ 41,000 รอบ/นาที เป็นเวลา 2.30 ชั่วโมง ที่ 4°C. (Beckman L7-55 Ultracentrifuge) โดยใช้ Beckman rotor swing type

Gradient Photometry

gradients จะถูกค้นในอัตรา 50 ซีซี./ชั่วโมง โดย peristaltic pump ผ่าน flow cell ของ LKB-spectrometer model 2138 Uvicords ซึ่งมี Path-length flow cell 3 mm., ที่ wave length 254 nm., recorder 0.2 mm./second, U.V. spectrometer sensitivity 0.1 (ABS-range), recording amplification 100 mv.

การคำนวณหาค่า

ขนาดของ peak ใน chart recorder จะเป็นสัดส่วนโดยตรงกับปริมาณไวรัสเสมอ การคำนวณหาค่าโดยการลอก peak ที่ได้ในกระดาษ คัดทำ การชั่งน้ำหนัก เทียบหาปริมาณไวรัสกับ standard ที่มีอยู่

จากรูปที่ 1 เป็น absorbance peak ที่ wave length 254 nm. ของไวรัสไทย เอเซียวัน ซึ่งได้ทำการทำให้เข้มข้นและบริสุทธิ์ 275 เท่า และนำมา inactivate ด้วย BBI 10% V/V เป็นความเข้มข้นสุดท้าย 250 เท่า นำไวรัสมาทำ dilution 1:40 ก่อนทำการวัด peak

รูปที่ 2 ทำการคืนเส้น peak ทั้ง 3 คำน ให้เป็นรูปสามเหลี่ยม

รูปที่ 3 นำกระดาษมาทาบกับสามเหลี่ยม แล้วทำการลอกพื้นที่ของ peak (พื้นที่สีดำ) แล้วทำการตัดกระดาษพื้นที่สีดำไปทำการชั่งน้ำหนัก เพื่อคำนวณหาพื้นที่ โดยที่เราทราบน้ำหนักอย่างเช่น

กระดาษที่ใช้ชั่งน้ำหนัก 1 ตารางเซนติเมตร พื้นที่	=	20	ng.
น้ำหนักกระดาษที่ลอกจาก peak	=	120	ng.
ดังนั้น area ของ peak	=	6	ตารางเซนติเมตร

จาก standard curve, area ที่ 6 ตารางเซนติเมตร เท่ากับน้ำหนัก 140-S 7.5 μ g/ml ดังนั้นน้ำหนัก 140-S ของ peak นี้คือ 7.5 x 40 เท่ากับ 300 μ g/ml

การทำ standard curve

Crude viral suspension

Centrifuge 20 min. at 2,600 rpm., 4°C.

PEG 8,000 7.5% W/V agitation 2 hours

Centrifuge 1.5 hrs., at 2,600 rpm., 4°C.

Remove supernatant

Add TNE buffer in sediment Vol 1/100 of initial viral suspension

Homogenize and agitation 60 min., 4°C.

Supernatant virus treat by fluorocarbon

Handwritten notes: 75, 1600, 300, 80, 4

Ultra-centrifugation supernatant

Fractionation

Collect the fraction

Purity evaluation

ทำการหาความขุ่นของไวรัสโดยเปรียบเทียบค่า UV จาก 2 wavelength

$$OD\ 259\ nm \approx 1.6\ to\ 1.8\ หรือ\ OD\ 259\ nm \approx 1.4$$

$$OD\ 280\ nm \qquad \qquad \qquad OD\ 239\ nm$$

ค่าของ OD ของไวรัสจะต้องใกล้เคียงกับค่า average หรือต้องมากกว่าค่า 1.1 ขึ้นไป จึงจะใช้ได้

จากการที่เราพบว่า 140-S particles ของไวรัสโรคปากและเท้าเปื่อยที่บริสุทธิ์ 100 μ g/ml จะมีค่า OD (d) เท่ากับ 0.76 ที่ 259 nm

$$\text{เพราะฉะนั้นปริมาณไวรัส } (\mu\text{g/ml}) = \frac{100\ d}{0.76}$$

ตัวอย่าง OD ที่ 259 nm ของไวรัสที่ทำการ collect dil_{1/4} คือ 0.34 และที่ 280 nm เท่ากับ 0.23

$$\text{เพราะฉะนั้น purity} = \frac{0.34}{0.23} = 1.48$$

$$\begin{aligned} \text{เพราะฉะนั้นปริมาณไวรัส} &= \frac{100 \times 0.34}{0.76} = 44.7 \\ &= 44.7 \times 4\ (\text{dil}) \\ &= \frac{179}{\mu\text{g/ml}} \end{aligned}$$

นำ purified ไวรัสนี้ไปทำ standard curve ต่อไป โดยทำ dilution ให้อยู่ระหว่าง 1-10 μ g/ml

ผล

ผลการตรวจวัดแสดงให้เห็นในตารางที่ 1-3 และรูปที่ 1

1. แสดงปริมาณ 140-S ใน raw virus ที่วัดค่าได้ของไวรัสไทย O, A, As-1

ไทย O มีค่าเฉลี่ย 1.85 (range 1.00-2.42)

ไทย A มีค่าเฉลี่ย 1.26 (range 0.61-2.40)

ไทย As-1 มีค่าเฉลี่ย 2.10 (range 1.10-2.60)

ตามตารางที่ 1 และค่า CF, TCID₅₀ ของไวรัส ไทย O, A, As-1 ตามตารางที่ 2 โดยที่

ไทย O มีค่า CF เฉลี่ย 370 (range 275-481)

ไทย A มีค่า CF เฉลี่ย 548 (range 372-724)

ไทย As-1 มีค่า CF เฉลี่ย 560 (range 407-724)

ไทย O มีค่า TCID₅₀ เฉลี่ย 6.9 (range 6.1-7.9)

ไทย A มีค่า TCID₅₀ เฉลี่ย 7.3 (range 6.7-7.9)

ไทย As-1 มีค่า TCID₅₀ เฉลี่ย 7.2 (range 6.5-7.7)

2. ในตารางที่ 3 ปริมาณ 140-S ใน concentrated purified virus ของไทย A มีค่าเฉลี่ย 263 (range 225-324) ซึ่งให้ความเข้มข้น

ประมาณ 188 เท่าของ raw virus คิดเป็นเปอร์เซ็นต์ yield รว 75% ของ raw virus ส่วนค่า CF มีค่าเฉลี่ย 84,745 (range 46,800 ถึง 127,400) และค่า TCID₅₀ มีค่าเฉลี่ย 8.99 (range 8.1-9.9)

Centrifugation Conditions

Gradient Factor →

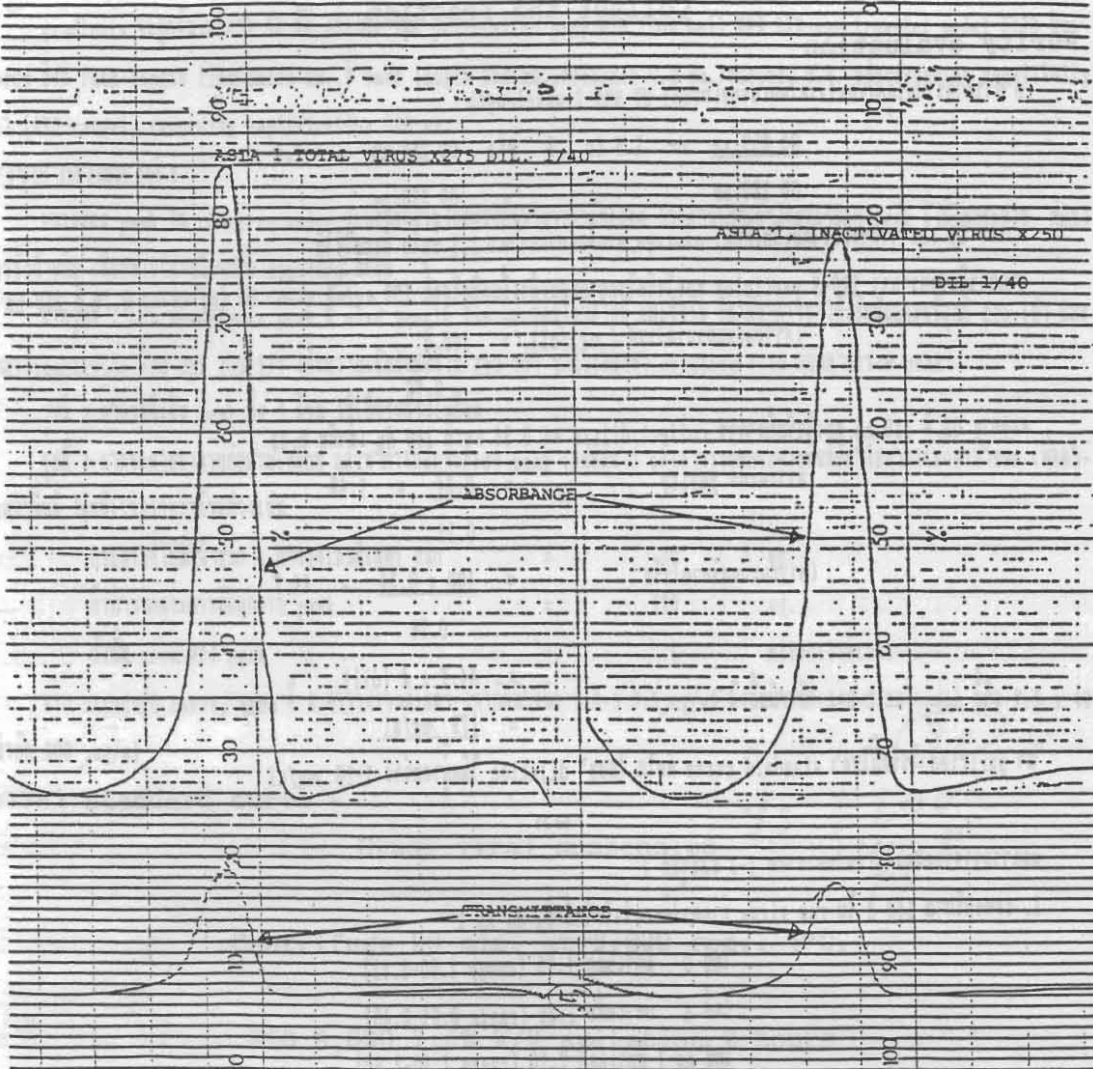


CHART No. 2210-110 Imp. AB, Stockholm, Sweden

Centrifuge 1.5 hrs. at 2,500 rpm. 4°C.

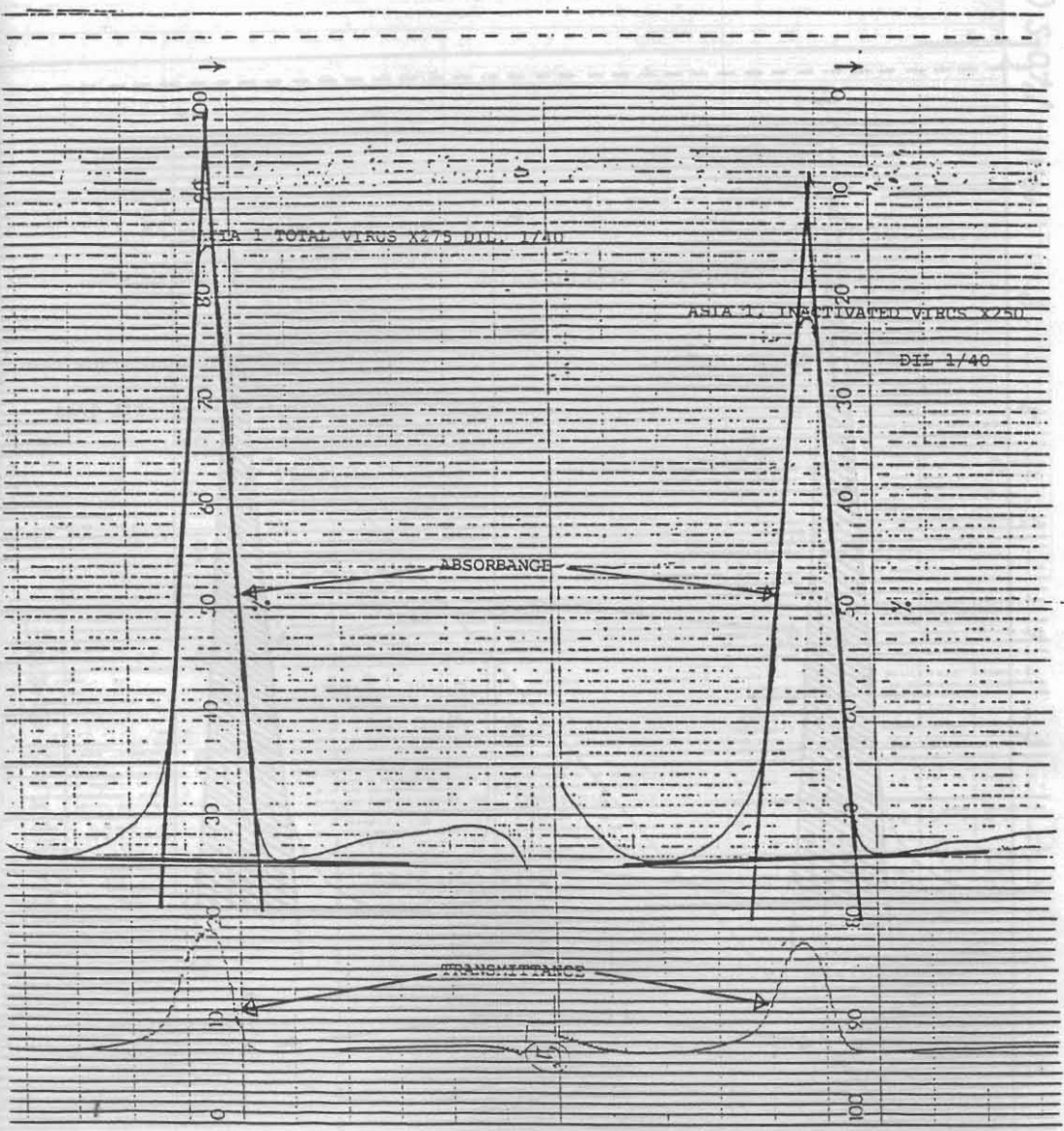
FIGURE 1, UV. ABSORBANCE PEAK OF 140-6 TYPE ASIA1. X275 & X250

Add TNE buffer in sediment Vol. 1/100 of original viral suspension

Homogenize and agitation 60 min. 4°C

Supernatant virus treat by chloroform

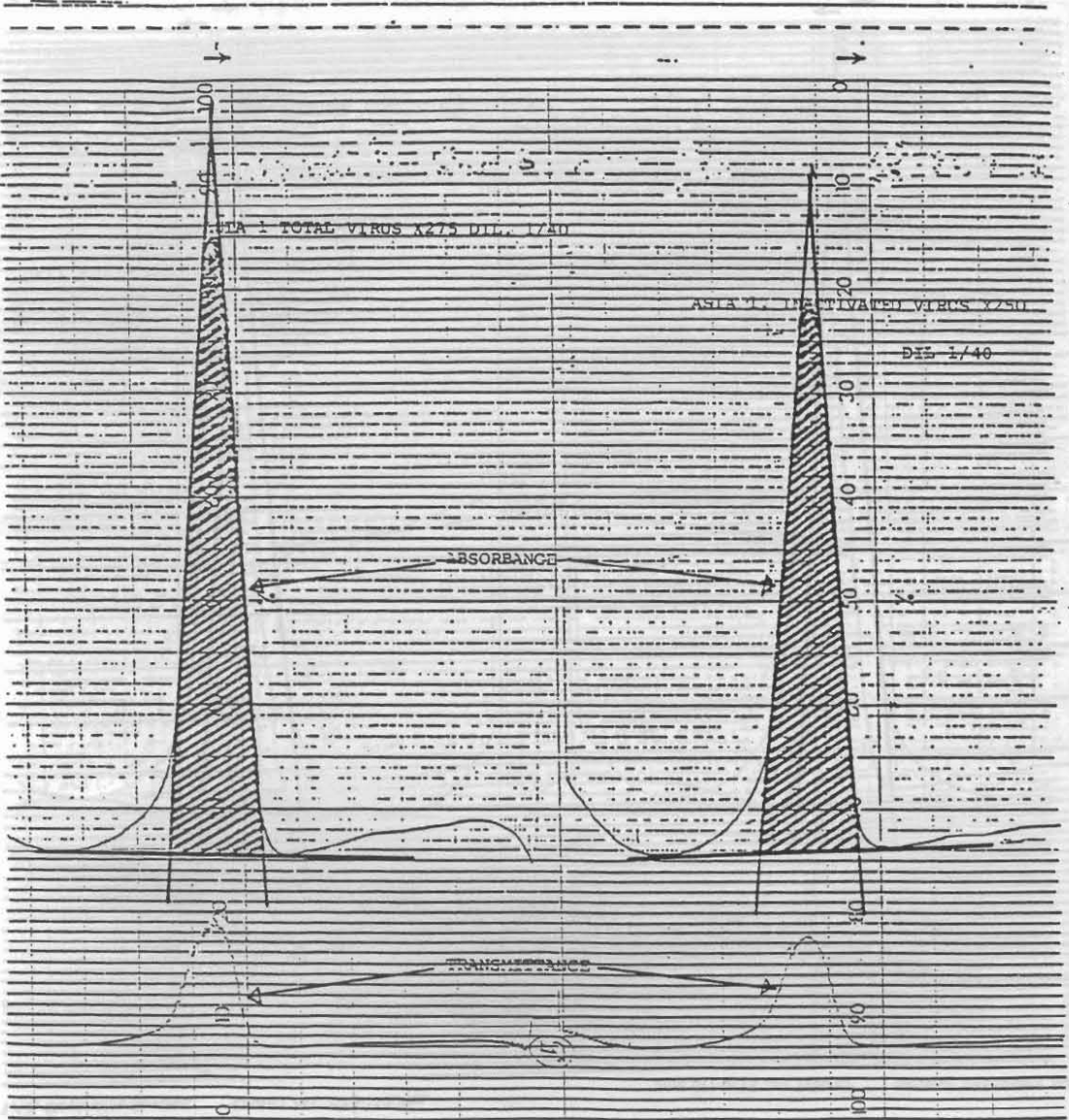
205 (Hyj)



1 AB, Stockholm, Sweden. CHART No. 2210-110 Imp.

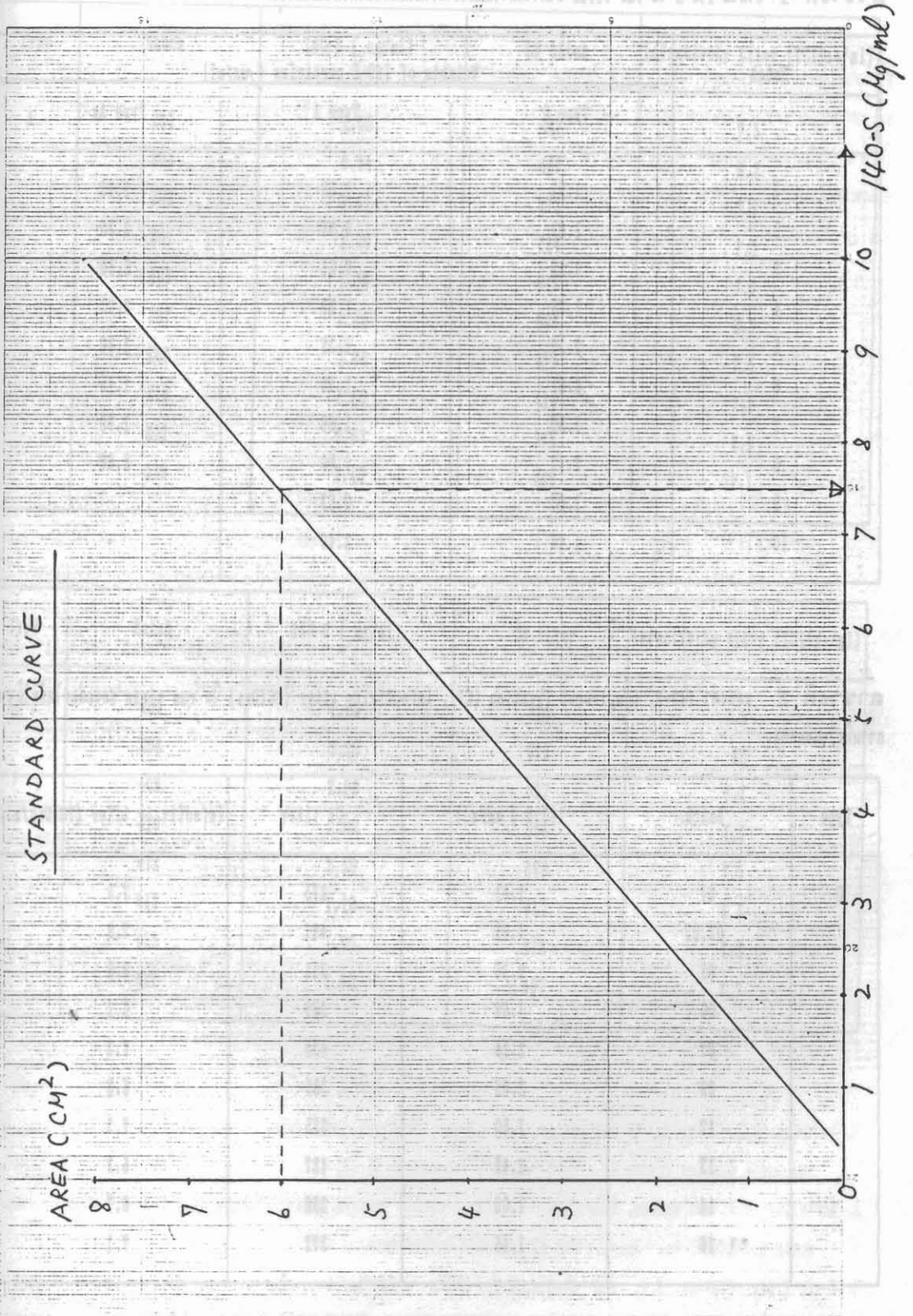
FIGURE 2.

AKVA C.P.A.



LAB, Stockholm, Sweden. CHART No. 2210-110 Imp.

FIGURE 3.



ตารางที่ 1 ปริมาณ 140-S ใน raw virus ที่ได้จากการผลิตไวรัสเพื่อผลิตเป็นวัคซีนในแต่ละชุด

Batch	Weights of 140-S particles ($\mu\text{g/ml}$)		
	Type O	Type A	Type As-1
1	1.81	1.60	1.90
2	1.89	0.94	2.30
3	2.26	0.61	2.50
4	1.89	1.20	2.00
5	2.19	1.35	2.50
6	2.05	1.10	1.10
7	1.50	1.00	1.90
8	2.42	1.80	2.60
9	1.00	0.63	-
10	1.46	2.40	-

ตารางที่ 2 แสดงค่า 140-S, complement fixation (CF), infectivity titer (TCID₅₀) ใน raw virus ของแต่ละโหลที่ได้จากการผลิตในแต่ละชุด

Type	Batch	140-S ($\mu\text{g/ml}$)	CF titer	infectivity titer (TCID ₅₀ /ml)
0	01	1.81	275	7.5
	02,03	1.89	481	7.9
	05	2.26	311	6.5
	06	1.89	389	6.1
	07	2.19	432	7.3
	09	2.05	385	6.3
	12	1.50	335	7.3
	13	2.42	427	6.3
	14	1.00	288	6.7
	16	1.46	372	7.1

Type	Batch	140-S ($\mu\text{g/ml}$)	CF titer	infectivity titer (TCID ₅₀ /ml)
A	201	1.60	447	7.5
	202	0.94	407	6.7
	203	0.61	372	7.1
	204	1.20	724	7.1
	205	1.35	646	7.5
	207	1.10	646	6.9
	208	1.00	479	7.5
	210	1.80	424	7.7
	211	0.63	372	7.9
	219	2.40	480	7.1

Type	Batch	140-S ($\mu\text{g/ml}$)	CF titer	infectivity titer (TCID ₅₀ /ml)
As-1	407	1.90	724	7.5
	408	2.30	676	ND
	409	2.50	553	7.1
	410	2.00	556	7.3
	412	2.50	668	7.5
	413	1.10	417	6.5
	415	1.90	479	7.7
	417	2.60	407	6.7

ตารางที่ 3 แสดงค่า 140-S, Complement fixation (CF), infectivity titer (TCID₅₀) Concentrated-purified virus

Type A ที่ความเข้มข้น 275 เท่า

Type A : Concentrated-purified virus (x 275)

Batch	140-S (ug/ml)	CF	TCID ₅₀ /ml
201	225	46,800	8.3
202	236	50,100	8.1
203	284	67,600	8.7
204	250	127,400	9.1
205	255	107,200	8.9
207	260	55,000	9.9
210	324	102,300	9.3
211	255	87,100	9.5
219	277	72,400	9.1

สรุปและวิจารณ์

ผลการตรวจวัดค่า raw virus และ concentrated purified ไวรัส ในขบวนการผลิตวัคซีนโรคปากและเท้าเปื่อย โดยวิธี CFT, TCID₅₀ และ Sucrose density ultracentrifuge หรือ uv-peak ในเบื้องต้นนี้ ค่าที่ได้จากการตรวจวัดไม่มีความสัมพันธ์กัน ปริมาณ 140-S ใน raw virus ทั้ง 3 โทป์ มีปริมาณเฉลี่ย 1-2 ไมโครกรัมต่อซีซี. ปริมาณ 140-S ของโทป์เอ ใน concentrated-purified ไวรัสที่ความเข้มข้น 275 เท่าลดลงราว 50% เมื่อเทียบกับ original raw virus

การตรวจวัดหาปริมาณ 140-S ในปัจจุบัน มีความสำคัญในการผลิตวัคซีนโรคปากและเท้าเปื่อย เนื่องจากการใช้ปริมาณ 140-S ซึ่งเป็นส่วนที่กระตุ้นให้ร่างกายสร้างภูมิคุ้มโรค (7) เป็นตัวกำหนดขนาดของวัคซีน การวัดหาค่า CF และ TCID₅₀ อย่างใดอย่างหนึ่งหรือทั้งสองวิธี ไม่อาจจะนำค่าที่ได้มากำหนดเป็นมาตรฐานขนาดของวัคซีนได้ เนื่องจากขาดความแน่นอนในการที่จะตรวจค่า 140-S ว่ามีมากน้อยเพียงใด การวัดหาค่า CF และ TCID₅₀ ในปัจจุบัน จึงควรเป็นเพียงค่าประกอบในขบวนการผลิตไวรัสเท่านั้น

ดังนั้นการที่เราสามารถวัดหาปริมาณ 140-S ใน virus preparation ไม่ว่าจะ เป็น original หรือ concentrate ย่อมนับว่ามีประโยชน์อย่างยิ่ง ที่จะสามารถทราบได้ว่าไวรัสที่ผลิตได้ในแต่ละชุดมีปริมาณ 140-S อย่างมากน้อยเพียงใด ซึ่งประโยชน์ที่ได้จะสามารถกำหนดโดสของวัคซีนในแต่ละชุด หรือในแต่ละโทป์ ให้ได้มาตรฐานเท่า ๆ กันทุกชุด วัคซีนแต่ละชุดที่ผลิตก็จะมีมาตรฐานไม่แตกต่างกันเหมือนที่เคยผลิตมานานมา

เอกสารอ้างอิง

1. Bachrach, H.L. Trautman, R. and Breese, S.S. 1964. Chemical and physical properties of virtually pure foot-and-mouth disease viurs. Am. J. of Veterinary research 25:333-342.
2. Barteling, S.J. and Melen, R.H. 1974. A simple method for the quantification of 140-S particles of foot and mouth disease virus. Archiv fur die gesamte virusforschung 45:362-364.
3. Doel, T.R., Fletton, B.W. and Staple, R.F. 1982. Further development in the quantification of small RNA viruses by U.V. photometry of sucrose density gradients. Develop. Biol. Standard 50:209-219.
4. Doel, T.R. and Movat, G.N. 1985. An international collaborative study on foot and mouth disease virus assay methods. 2. Quantification of 146 S particles. Journal of Biological Standardization 13:335-344.

**การปรับปรุงวิธีหาปริมาณ 140 เอส พาร์ทีเคิล
ของ ไวรัสโรคปากและเท้าเปื่อย
โดยวิธี ซูโครสเดนซิตีเกรเดียนต์**

**THE IMPROVEMENT OF THE QUANTIFICATION OF FMDV-140S PARTICLES
BY A SUCROSE DENSITY GRADIENT PROCEDURE**

พิศมัย เลียมจรัสกุล¹ เชิงชาย จันทร์ศรี¹ เฉลิมศักดิ์ พิธรัตน์¹

Pisamai Leamcharaskul Chergchai Chuntharusmi Chalernsak Pittarat

Abstract

Quantification of 140S particles assay method by sucrose gradient was improved. To be a standard procedure many factors : such as equipment, technics etc. were considered. MS2-riboophage-standard was used in the system of the assay. Accuracy of this method was shown. Calculation from standard linear graph of adenine solution with the equation $E^{1\%}_{1cm 254} = 74.5$ indicated low levels of variation.

บทคัดย่อ

วิธีการหาปริมาณ 140 เอส พาร์ทีเคิล จากตัวอย่างไวรัส โดยวิธีซูโครสเกรเดียนต์ ได้ถูกปรับปรุงให้ได้มาตรฐาน โดยการหาปัจจัยที่เหมาะสม เครื่องมือ อุปกรณ์ วิธีการและเทคนิค รวมทั้งการใช้สารมาตรฐาน เอ็มเอส 2 ร่วมเป็นมาตรฐานของการตรวจสอบและใช้เส้นกราฟมาตรฐานของอะดีนีนเป็นแนวทางในการคำนวณร่วมกับสูตร $E^{1\%}_{1cm 254} = 74.5$

คำนำ

โรคปากและเท้าเปื่อยเป็นโรคติดต่อที่สำคัญในสัตว์กักบด ก่อให้เกิดความสูญเสียทางด้านเศรษฐกิจให้แก่เลี้ยงสัตว์เป็นอย่างมาก ดังนั้นจึงมีการใช้วัคซีนเพื่อป้องกันโรคนี้ในสัตว์เลี้ยง แต่เนื่องจากการตอบสนองทางด้านความคุ้มโรคของวัคซีนนั้นเกี่ยวข้องกับปริมาณ 140 เอส พาร์ทีเคิล ในวัคซีน (3, 11) ดังนั้นการหาปริมาณ 140 เอส พาร์ทีเคิลในไวรัสที่เตรียมขึ้นสำหรับการผลิตวัคซีนจึงมีความสำคัญอย่างยิ่ง (2, 8) อย่างไรก็ตามวิธีการหาปริมาณ 140 เอส พาร์ทีเคิลโดยปกติแล้ว คือวิธีซูโครสเกรเดียนต์ (2) ความมาตรฐานเพียงพอ จึงสามารถลดระดับความแปรเปลี่ยน (Variation) ของค่า 140 เอส พาร์ทีเคิล และส่งผลถึงคุณภาพของวัคซีนที่ดี (4)

ในประเทศไทย มีรายงานเกี่ยวข้องกับวิธีหาปริมาณ 140 เอส พาร์ทีเคิล แต่พบว่าใช้เวลานานในการอ่านผล (9) และไม่สะดวกในการหาพื้นที่ของ 140 เอส พาร์ทีเคิล (10) ดังนั้นจึงมีวัตถุประสงค์ปรับปรุงวิธีการตรวจหาปริมาณ 140 เอส พาร์ทีเคิล ด้วยวิธีซูโครสเกรเดียนต์ ให้ได้มาตรฐาน โดยการใช้เครื่องมือใหม่ร่วมกับสารมาตรฐาน เอ็มเอส 2 (MS2-Ribophage Standard) ในการตรวจ และใช้เส้นกราฟมาตรฐานของสารละลายอะดีนีน (Adenine Solution) ในการคำนวณเพื่อเป็นแนวทางในการปรับปรุงประสิทธิภาพการผลิตวัคซีน

1. Bartelme, S.J. and Sponner, S.S. 1974. A simple method for the quantification of 140-S particles of foot and mouth disease virus. *Archiv für die gesamte Virusforschung* 18:323-324. 7*

2. See: T.S. Pietsch, S.S. and Staple, S.F. 1982. Further development in the quantification of small viruses by S.F. photometry of sucrose density gradients. *Develop. Biol. Standard* 58:209-215.

1. See: T.S. Pietsch, S.S. and Staple, S.F. 1982. Further development in the quantification of small viruses by S.F. photometry of sucrose density gradients. *Develop. Biol. Standard* 58:209-215.

¹ศูนย์โรคปากและเท้าเปื่อย กองผลิตชีวภัณฑ์ กรมปศุสัตว์

2. Quantification of 140 S particles. *Journal of Biological Standardization* 11:333-344.

อุปกรณ์และวิธีการ

อุปกรณ์

1. เครื่องทำเกรเดียนต์
 - 1.1 ชนิดคอนทิงมาสเตอร์ (Gradient Master, Towa-Biocomp Co. Ltd.)
 - 1.2 ชนิดสกรรมาดา (Continuous gradient former, Sanplateck Co. Ltd.) พร้อมกับปั๊ม (Peristaltic pump; 2115, LKB Co. Ltd.) และเครื่องปั่นแม่เหล็ก (Magnetic stirrer; AS-2T, Cole Parmer Co. Ltd.)
2. เครื่องอัลตราเซนตริฟิวจ์ (Ultracentrifuge; L8, Beckman Co. Ltd.) พร้อมโรเตอร์ (Rotor) และทิวบ์ (Tube) ชนิดโพลีอัลโลเมอร์ (Poly-allomer) กับชนิดคลอริฟิวจ์ (Ultraclear)
3. เครื่องวัดค่า 140 เอส ของ ISCO Inc., U.S.A. ซึ่งประกอบด้วยเครื่องแอบซอร์บแนซ-ฟลูออเรสเซนซ์ ดีเทคเตอร์ (Absorbance/Fluorescence detector; UA-5 series) พร้อมด้วย ออปติคัลยูนิต (Type-6 optical unit), เครื่องเดนซิทีเกรเดียนแฟรคชันเนเตอร์ (Density gradient fractionator; Model-185) และเครื่องบันทึกผล (Recorder; Model 165)
4. เครื่องสเปกโตรโฟโตมิเตอร์ (Spectrophotometer) รุ่นดี-70 (Du 70, Beckman Co. Ltd.)
5. อื่น ๆ เช่น เครื่องชั่งน้ำหนักสาร, เครื่องไมโครเซนตริฟิวจ์, เครื่องวัดการหักเหของแสง (Refractometer), เครื่องถ่ายเอกสารพร้อมกระดาษถ่ายเอกสาร (Standardized paper, A4, PMA Corporation Ltd.) และเครื่องฟรคชันคอลเลคเตอร์ (Fraction collector, Retriever IV, ISCO Inc., U.S.A.) เป็นต้น
6. สารเคมีต่างๆ เช่น ซูโครส (Sucrose), ฟลูออรีเนท (Fluorinert; FC-40 หรือ FC-70, Sigma Co. Ltd. หรือ Sumitomo 3M Co. Ltd.), อะดีนีน (Adenine, Sigma chemical Ltd.), สารมาตรฐาน เอ็มเอส 2 (MS2-Ribophage standard, crude harvest solution, ATCC 155971-B) และอื่นๆ
7. ตัวอย่างไวรัสจากงานผลิตวัคซีนโคโรนาและกระบือ

วิธีการ

1. ทาบัจจัยที่เหมาะสมสำหรับการตรวจตัวอย่างไวรัสก่อนที่จะนำมาหาปริมาณ 140 เอส
 - 1.1 ซูโครส

เตรียมน้ำตาลจากต่างประเทศ จำนวน 6 ตัวอย่าง และจากในประเทศตามท้องตลาด จำนวน 10 ตัวอย่าง (ดูตารางที่ 2 และ 3) ความเข้มข้น 45% นำไปหาค่าการดูดกลืนของแสง (Optical density, OD) ด้วยเครื่องสเปกโตรโฟโตมิเตอร์และเครื่องวัดค่า 140 เอส ที่ความยาวคลื่น 254 นาโนเมตร (nm)
 - 1.2 ซูโครสเกรเดียนต์และเครื่องทำเกรเดียนต์

เตรียมซูโครสเกรเดียนต์ 10-45% ด้วยเครื่องทำเกรเดียนต์ 2 รุ่น คือ รุ่นคอนทิงมาสเตอร์ (Gradient Master, Towa-Biocomp Co. Ltd.) และรุ่นสกรรมาดา (Continuous gradient former, Sanplateck Co. Ltd.) จำนวน 4-6 ตัวอย่างต่อเครื่อง นำไปหาค่าการหักเหของแสง (Refractive index value, RI) หลังจากผ่านเข้าเครื่องแฟรคชันเนเตอร์ (Fractionator) จากนั้นคำนวณค่าเปอร์เซ็นต์ (%) ความเข้มข้นของซูโครสจากค่า RI ที่ได้
 - 1.3 ปริมาตรตัวอย่างและเวลาในการปั่นด้วยเครื่องอัลตราเซนตริฟิวจ์

นำตัวอย่างไวรัสปริมาณ 0.5 และ 1 มล. มาทำการตรวจสอบหาปริมาณ 140 เอส ตามวิธีในตารางที่ 1 โดยใช้เวลาในการปั่นด้วยเครื่องอัลตราเซนตริฟิวจ์ นาน 1, 2, 3 และ 4 ชม. เปรียบเทียบลักษณะของพีคที่ได้
 - 1.4 สารมาตรฐาน เอ็มเอส 2

ทำการเพิ่มจำนวนเอ็มเอส 2 โดยวิธีเพลทไลเซต (Plate lysate method) (7) จากนั้นเติม 0.025 มล. ของ เอ็มเอส 2 ที่ได้ และตัวอย่างไวรัสลงบนซูโครสเกรเดียนต์ 10-45% นำไปหาค่า 140 เอส ตามวิธีการในตารางที่ 1 และ 6 สังเกตลักษณะของพีคที่ได้

1.5 กระดาษ

นำกระดาษมาตัดตัวอย่างเพื่อตัดขนาดพื้นที่ 8 ขนาดระหว่าง 0.25-8.00 ซม² ขนาดละ 10 ตัวอย่าง จากนั้นชั่งน้ำหนักและคำนวณค่าเปอร์เซ็นต์การเบี่ยงเบนมาตรฐาน (% Standard deviation, % SD) และเปอร์เซ็นต์ความแตกต่างสูงสุด (% Maximum difference, % Diff)

1.6 อดตัวาเซนตริกัทว

นำหัวบ 2 ชนิด คือ ชนิดโพลลอสไดเมอร์ และชนิดอลลวาล์วเคลียร์ มาใช้ในการปั่นตัวอย่างด้วยเครื่องอดตัวาเซนตริกัทว ตามวิธีการในตารางที่ 6 และ 6 เปรียบเทียบชนิดและข้อเสียของหัวบทั้งสอง

1.7 วิธีการให้ตัวอย่างผ่านเข้าเครื่องวัดค่า 140 เอส

นำตัวอย่างมาตรวจสอบค่า 140 เอส โดยใช้วิธีการให้ตัวอย่างผ่านเข้าเครื่องวัดค่า 140 เอส (Fractionating method) 2 ระบบ คือ ระบบการพวง (Pierce system) และระบบการวัดจากปลายอังกินทับ (Top entry system) ตามวิธีการใน Instruction manual of density gradient fractionator model 185 (6) จากนั้นเปรียบเทียบความสะดวกในการใช้งานของทั้ง 2 ระบบ

1.8 สารละลายเชส (Chase solution)

ทดลองนำเอาสารละลายเชส 2 อย่าง คือ ฟลออริเนท และ ซูโครส ความเข้มข้น 60% มาใช้ฉีดตัวอย่างเข้าเครื่องวัดค่า 140 เอส ตามวิธีการของระบบการวัดจากปลายอังกินทับ เปรียบเทียบคุณสมบัติและความสะดวกของการฉีดตัวอย่างเข้าเครื่อง

2. ตรวจสอบความเที่ยงตรงของเครื่องมือ

2.1 เครื่องสเปคโตรโฟโตมิเตอร์ รุ่นดี-70

ใช้สารละลายอะดีนีน (A1-A6) ทดสอบความเที่ยงตรงของเครื่องตามวิธีของ Doel และ Kowat (4)

2.2 เครื่องวัดค่า 140 เอส

2.2.1. วัดความถูกต้องของอัตราการไหล (Flow rate, มล./นาที) ของตัวอย่างเข้าไหลเซลล์ (Flow cell) ทุกค่า โดยการวัดปริมาตรที่ถักคั่นออกมาในเวลาที่กำหนด คำนวณหาค่าเฉลี่ยของแต่ละค่า และค่า % คอมเพนเซชันแฟคเตอร์ (% Compensate factor, % Com)

2.2.2. วัดความเที่ยงตรงของอัตราการหมุนของกระดาษกราฟ (Chart speed, ซม./ชม.) ทุกค่า โดยการวัดความยาวของกระดาษกราฟในเวลาที่กำหนด คำนวณหาค่าเฉลี่ยของแต่ละค่า และค่า % Com

2.2.3. วัดความเที่ยงตรงของการเคลือบเครื่องและเซนซิวิตี ด้วยการเคลือบเครื่องโดยใช้มาตรฐานปรกติของเครื่อง (OD₂₅₄ 0.42) ที่เซนซิวิตี 0.5 วัดค่า OD ของสารละลายอะดีนีน (A1-A6) ด้วยเครื่องวัดค่า 140 เอส ตามวิธีการของ Doel และ Kowat (4) เป็นจำนวนครั้ง (เคลือบใหม่ทุกครั้งที่วัด) จากนั้นทดลองใช้ อะดีนีน เป็นมาตรฐานภายนอก (External standard) ในการเคลือบเครื่อง ที่เซนซิวิตี 0.1 ตามมาตรฐานเดิมของเครื่อง เปรียบเทียบค่า OD ที่ได้

3. ตรวจสอบความเที่ยงตรงของเทคนิคตรวจสอบค่า 140 เอส

นำตัวอย่างไวรัสมาทำการตรวจหาปริมาณ 140 เอส เป็นจำนวนทั้งสิ้น 17 ครั้ง ต่อ 1 ตัวอย่าง ใน 5 การทดลองหรือการเคลือบ ตามวิธีการในตารางที่ 1 และ 6 คำนวณหาค่าเฉลี่ย, % SD และ % Diff จากน้ำหนักกระดาษที่ได้ทั้งหมด

4. หาเส้นกราฟมาตรฐานที่แสดงความสัมพันธ์ระหว่างปริมาณ 140 เอส กับ พื้นที่ของ 140 เอส ที่วัด

เตรียมสารละลายมาตรฐาน อะดีนีน ซึ่งมีค่าการดูดกลืนของแสง ($D^{254} = OD_{254} \times ml$) ที่ความยาวคลื่น 254 nm ระหว่าง 0.001-0.03125 นำไปผ่านเข้าเครื่องวัดค่า 140 เอส เพื่อนักผลเป็นรูปกราฟ ถ่ายเอกสารบันทึกได้จากชนิดคัด บันทึกลับน้ำหนักกระดาษของพิค แล้วคำนวณค่าพื้นที่พิคจากทฤษฎีและการทดลอง รวมทั้งค่าคอมเพนเซชันแฟคเตอร์ (Compensate factor) จากพื้นที่ดังกล่าว

ผลการทดลอง

1. ปัจจัยที่เหมาะสมสำหรับการตรวจตัวอย่างไวรัส

1.1. ซูโครส

ตามตารางที่ 2 และ 3 พบว่าในจำนวนน้ำตาลต่างประเทศที่ทดสอบนี้ น้ำตาลตัวอย่างที่ 6 ของบริษัทเมอร์ค (Merck Co. Ltd.) ให้ค่าระดับแบคกราวด์ (Background) ที่เหมาะสม คือเป็นซีโรสที่เมื่อน้ำตัวอย่างมาทดสอบรวมด้วยที่เซนต์ซิติวิตี (Sensitivity) 0.1 จะให้ระดับแบคกราวด์ที่ต่ำและเอียงในแนวอนคว่ำตัวอย่างอื่น (ลักษณะระดับแบคกราวด์ของซีโรส ในรูปที่ 1) พื้นที่ของพิกัดตัวอย่างจะตรงกับความเป็นจริงและสะดวกในการเก็บค่ามากที่สุด ค่าการคลงของแสงที่วัดได้คือ 0.07 ที่ความยาวคลื่น 254 นาโนเมตร (nm) ส่วนรับน้ำตาลในประเทศที่ทดสอบนี้ พบว่าน้ำตาลตัวอย่างที่ 1 จาก บ. นิตรผล จังหวัดราชบุรี ให้ค่าแบคกราวด์ที่ต่ำกว่าตัวอย่างอื่น แต่ค่าการคลงของแสงมากกว่าน้ำตาลจากบริษัทเมอร์ค (Merck Co. Ltd.) เล็กน้อยคือ 0.1 ที่ความยาวคลื่นเดียวกัน

ในงานวิจัยนี้ ได้เลือกใช้น้ำตาลตัวอย่างที่ 6 (ตารางที่ 2)

1.2 ซีโรสเกรเดียนและเครื่องทำเกรเดียน

จากรูปที่ 2 พบว่าค่าเปอร์เซ็นต์ความเข้มข้นของซีโรสที่คำนวณได้จากหลอดต่าง ๆ คือ แฟรคชัน (Fraction) ที่ 1 ถึง 30 ในตัวอย่างเดียวกันมีความต่อเนื่องกันดีและเมื่อเปรียบเทียบกับตัวอย่างทั้งหมด ความเอียงของกราฟที่ได้ค่อนข้างแน่นอน คุณภาพของซีโรสเกรเดียนจึงเหมาะสมที่จะแยกหาปริมาณ 140 เอส

เมื่อเปรียบเทียบ เกรเดียนที่ได้จากเครื่องทำเกรเดียน ทั้ง 2 ชนิด พบว่าคุณภาพใกล้เคียงกัน และเนื่องจากเครื่องทำเกรเดียนแบบธรรมดา (Sanplateck) ทำเกรเดียนได้ทีละหลอด แต่ละหลอดใช้เวลานานประมาณ 20 นาที ในขณะที่เครื่องแบบคอมพิวเตอร์ (Towa-Biocomp) สามารถทำเกรเดียนได้ทีละ 6 หลอดในเวลาเดียวกัน โดยใช้เวลาประมาณ 10 นาทีเท่านั้น

ดังนั้น เครื่องทำเกรเดียนแบบคอมพิวเตอร์ (Towa-Biocomp) จึงถูกเลือกในการหาปริมาณ 140 เอส เนื่องจากความสะดวกดังกล่าว

1.3 ปริมาตรตัวอย่างและเวลาในการปั่นด้วยเครื่องอลตราเซนตริฟิว

ลักษณะของ 140 เอส ที่ที่ได้จาก 0.5 มล. นั้นค่อนข้างเล็ก หากมีปริมาณ 140 เอส ในตัวอย่างไวรัสน้อยมาก อาจทำให้อ่านผลผิดพลาดส่วนที่ตกได้จาก 1 มล. มีขนาดใหญ่มากกว่าและไม่ใหญ่เกินกว่าขนาดของแผ่นกราฟ ดังนั้นปริมาตรที่เหมาะสมของตัวอย่างไวรัสที่ใช้ในการทดสอบนี้คือ 1 มล. นอกจากนี้เมื่อพิจารณาจากรูปที่ 3 พบว่าระยะเวลาที่ใช้ในการปั่นตัวอย่างบนซีโรสเกรเดียน 3 และ 4 ชม. สามารถแยก 140 เอส พาร์ทีเคิล ได้ดีมากถ้า 1 และ 2 ชม. และได้ที่ชัดเจนน้อยกว่าในการตก เมื่อเปรียบเทียบระหว่าง 3 และ 4 ชม. พบว่าลักษณะที่ตกจาก 4 ชม. ดีมากกว่า 3 ชม. เล็กน้อย แต่เนื่องจากที่ตกได้จาก 4 ชม. นั้น อยู่เกือบถึงปลายทิวป์ ดังนั้นจึงพิจารณาเลือกเวลาที่เหมาะสมสำหรับการปั่นตัวอย่างเป็น 3.5 ชม.

1.4 สารมาตรฐาน เอ็มเอส 2

ลักษณะของ เอ็มเอส 2 ที่ใช้นี้ ใช้ประโยชน์ได้โดยมิเพียงแต่จะเป็นคอนโทรล (Control) ของการทดลองแต่ยังเป็น 80 เอส พรีเมาร์คเกอร์ (80S premarker) (รูปที่ 4)

1.5 กระดาษ

พบว่าค่า % SD และเปอร์เซ็นต์ Diff ของน้ำหนักกระดาษสอง เมื่อขนาดพื้นที่เล็ก และค่าเมื่อขนาดพื้นที่ใหญ่ โดยปรกติแล้วพื้นที่ 140 เอส ที่ได้จากการศึกษาตัวอย่างไวรัสนี้มีค่าประมาณ 1-6 ซม² เมื่อพิจารณาขนาดพื้นที่ดังกล่าวพบว่า % SD ของกระดาษพื้นที่ 1 และ 6 ซม² มีค่าเป็น ±4.5 และ ±2.0 % (n=10) ตามลำดับ ส่วน % Diff ของกระดาษพื้นที่ดังกล่าว มีค่าเป็น 11.6 และ 5.1 % (n=10) ตามลำดับ นอกจากนี้ความสัมพันธ์ระหว่างน้ำหนักกระดาษและพื้นที่กระดาษนั้น เป็นลักษณะของกราฟเส้นตรง (r=0.99996) ดังแสดงในรูปที่ 5 จึงสรุปได้ว่าน้ำหนักของกระดาษค่อนข้างพิกัดเหมาะสมสำหรับการนำไปหาค่า 140 เอส ของตัวอย่าง

1.6 อลตราเซนตริฟิวทิวป์

เนื่องจากทิวป์ชนิดโฟลลิดโลเมอร์ มีอายุการใช้งานได้นานกว่าชนิดอลตราเซนตริฟิว ซึ่งเกิดรอยร้าวและแตกง่ายขณะปั่นด้วยอลตราเซนตริฟิว ดังนั้นจึงเลือกใช้โฟลลิดโลเมอร์ทิวป์ในการตรวจสอบค่า 140 เอส เพื่อป้องกันการสูญเสียตัวอย่าง ค่าใช้จ่าย และเวลาในการทดสอบ

1.7 วิธีการให้ตัวอย่างผ่านเข้าเครื่องวัดค่า 140 เอส

เนื่องจากการใช้ระบบการวัดจากปลายถึงกันทิวป์ ทำให้สามารถนำทิวป์กลับมาใช้ในการทดสอบต่อไปได้อีกหลายครั้ง และสะดวกในการตรวจสอบค่าอย่างมากกว่าระบบการแทงซึ่งไม่สะดวกและใช้ทวีปได้เพียง 1 ครั้งต่อ 1 ตัวอย่าง ดังนั้นจึงพิจารณาใช้ระบบการวัดจากปลายถึงกันทิวป์ในงานวิจัยนี้

1.8 สารละลายเชส (Chase solution)

ฟลูออรีเนท มีคุณสมบัติคือ ไม่เหนียว ใส ไม่มีสี ไม่มีกลิ่น ไม่ระเหวในการทำปฏิกิริยา (inactive) ความหนาแน่นสูง (มากกว่า 1.3) และ ไม่ละลายในน้ำ ดังนั้นจึงเลือกใช้ฟลูออรีเนทเป็นสารละลายเชสแทน 60% ซุโครส ซึ่งหนัก ละลายในน้ำได้ เพื่อสะดวกในการเดินตัวอย่างไวรัสผ่านเข้าไหลเซลล์ของเครื่องวัดค่า 140 เฮส

2. ความเที่ยงตรงของเครื่องสเปคโตรโฟโตมิเตอร์ รุ่นดิยู-70

สารละลายอะดินีนคามาเข้มขึ้น A1-A6 มีค่า OD ที่ความยาวคลื่น 254 nm เป็น 0.4677, 0.3743, 0.2838, 0.1881, 0.0908 และ 0.0471 ตามลำดับ (r = 0.99994) และเมื่อเปรียบเทียบกับรายงานของ Doel และ Nowat พบว่ามีความใกล้เคียงกันมาก ดังนั้นเครื่องสเปคโตรโฟโตมิเตอร์จึงมีความเที่ยงตรงสูง

3. ความเที่ยงตรงของเครื่องวัดค่า 140 เฮส

3.1 จากตารางที่ 4 พบว่าค่า % Co_m มีค่าประมาณ 99% ดังนั้นอัตราการไหลของตัวอย่างเข้าไหลเซลล์ (Flow cell) มีความเที่ยงตรงดี

3.2 เมื่อพิจารณาว่าค่า % Co_m ของอัตราการหมุนระหว่าง 12-600 ชม./ชม. พบว่ามีค่าประมาณ 100% (ดูตารางที่ 4) ดังนั้นอัตราการหมุนของกระดาษกราฟ จึงมีความเที่ยงตรงมาก (ดูพารามิเตอร์ปกติในตารางที่ 6)

3.3 จากตารางที่ 4 พบว่า ค่า OD ของการแคลิเบรตครั้งเดียวกัน ให้ค่าใกล้เคียงกันมาก แม้ว่าจะใช้เซลล์ที่ต่างกัน ความสัมพันธ์ระหว่างความเข้มข้นของอะดินีนและค่า OD ที่ได้เป็นกราฟเส้นตรง (r>0.996) และเมื่อเปรียบเทียบค่าเฉลี่ยกับค่าที่ได้จากเครื่องดิยู-70 พบว่าใกล้เคียงกัน สำหรับค่า OD ของการแคลิเบรตต่างครั้งกัน พบว่าต่างกันเล็กน้อย และเมื่อปรับปรังการแคลิเบรตโดยใช้ อะดินีน เป็นมาตรฐานภายนอกพบว่ายังมีความแตกต่างกันเล็กน้อยเช่นเดิม ดังนั้นการแคลิเบรตมีความสำคัญในการวัดค่า 140 เฮส ให้มีความเที่ยงตรง

4. ความเที่ยงตรงของเทคนิคที่ตรวจสอบค่า 140 เฮส

เมื่อพิจารณาถึงเปอร์เซ็นต์ SD และเปอร์เซ็นต์ Diff พบว่ามีค่าเป็น ±10.5 % และ ±43 % (n = 17) ตามลำดับ (ดูตารางที่ 5) ดังนั้นค่าเปอร์เซ็นต์ความเที่ยงตรง (% Accuracy) ที่ได้จากตัวอย่างที่ทำการทดสอบเพียง 1 ครั้ง จะมีค่าเป็น ±21.5% หากทำการทดสอบเป็นจำนวน 2 ครั้งต่อ 1 ตัวอย่าง จะให้ค่าประมาณ ±10% ในงานทดสอบปกติทำการทดสอบตัวอย่างละ 2 ครั้ง ดังนั้นเทคนิคสำหรับงานวิจัยมีความเที่ยงตรงดี

5. เปรียบเทียบมาตรฐานที่แสดงความสัมพันธ์ระหว่างปริมาณ 140 เฮส กับพื้นที่ของ 140 เฮส พิค

จากค่าคอมพิวเตอร์ของพื้นที่ใต้จากพิคของสารละลายอะดินีน (OD₂₅₄ = 0.002-0.03125) ซึ่งมีค่าประมาณ 1 เห็นได้ว่าค่าพื้นที่ที่ได้จากการทดลองมีค่าใกล้เคียงกับทางทฤษฎีมาก และเมื่อหาความสัมพันธ์ระหว่างค่าการดูดกลืนของแสง (D') และพื้นที่ของกระดาษ จะได้เส้นกราฟมาตรฐานเส้นตรง (r = 0.9973) (ดูรูปที่ 6)

ตารางที่ 1: วิธีปฏิบัติการหาปริมาณ 140 เฮส

1. ปั่นตัวอย่างไวรัสด้วยไมโครเซนตริฟักความเร็ว 10,000 รอบต่อนาทีเป็นเวลาาน 5 นาที ที่อุณหภูมิ 4°C. เก็บส่วนใส (Supernate) ไว้ตรวจสอบสวน
2. เติมน้ำตัวอย่างที่เตรียมไว้ 1 มล. พร้อมทั้งสารละลายมาตรฐานเก็บเลข 2 ปริมาตร 0.025 มล. ลงบนซุโครสเกรเดียน 10-45% แล้วนำไปปั่นด้วยเครื่องอัลตราเซนตริฟัก ด้วยความเร็ว 36,000 รอบต่อนาที ที่อุณหภูมิ 4°C. เป็นเวลาาน 3.5 ชม.
3. อ่านค่าการดูดกลืนของแสงออกมาในรูปของกราฟโดยการใส่เครื่องวัดค่า 140 เฮส ที่แคลิเบรต (Calibrate) ไว้ที่ความยาวคลื่น 254 nm ตามพารามิเตอร์ (Parameter) ที่กำหนดในตารางที่ 6
4. ถ่ายเอกสารกราฟที่ได้ โดยใช้กระดาษที่ผ่านการทดสอบแล้ว
5. ตัดพิค (Peak) ที่ได้จากกระดาษ
6. ชั่งน้ำหนักกระดาษที่ตัดไว้โดยใช้เครื่องชั่งวิเคราะห์
7. คำนวณหาความเข้มข้นของ 140 เฮส จากน้ำหนักกระดาษโดยใช้สมการแสดงความสัมพันธ์ระหว่างน้ำหนักกระดาษและความเข้มข้นของ 140 เฮส (ดูสูตรการคำนวณในวิจารณ์)

ตารางที่ 2 ซุโครสต่างประเทศที่นำมาทดสอบ เพื่อทำซุโครสเกรดเดียน

เกรด	เลขที่	บริษัทผู้ผลิต
1. Pure	PDM7116	Wago pure chem. Ind., ญี่ปุ่น
2. Guarantee	N9R4037	Nacalai Tesque, Inc., ญี่ปุ่น
3. Extrapure	N9R4509	Nacalai Tesque, Inc., ญี่ปุ่น
4. Microbiology	020	Merck Co. Ltd., เยอรมัน
	K1280665	
5. Microbiology	626	Merck Co. Ltd., เยอรมัน
	K2481451	
6. Microbiology	007	Merck Co. Ltd., เยอรมัน
	K1280665	

ตารางที่ 3 ซุโครสในประเทศที่นำมาทดสอบ เพื่อทำซุโครสเกรดเดียน

ชื่อ	แหล่งที่มา
1. น้ำตาลทรายมีตรผล	บริษัทน้ำตาลมีตรผล, จ. ราชบุรี
2. น้ำตาลทรายมีตรผล	โรงงานรวมเกษตรกรวดสาธิตกรม จ. ชัยภูมิ
3. น้ำตาลอิมพีเรียล	บริษัทไทยเน็คเคอเรฟต์, กรุงเทพ
4. น้ำตาลสตาร์	บริษัทกมล แอล. ที., กรุงเทพ
5. น้ำตาลบลูบอย	บริษัทเอสซีเทรดดิ้ง (ประเทศไทย) กรุงเทพ
6. น้ำตาลซูการ์เมท	ห้างหุ้นส่วนจำกัดเพชรสอสดสาธิตกรม, กท.
7-10. น้ำตาลทรายทั่วไปที่	ร้านค้าในตลาดอำเภอปากช่อง
แข่งขันชายเป็นกิโล	

ตารางที่ 5 ความเที่ยงตรงของเทคนิคที่ ตรวจสอบค่า 140 เอส

ตัวอย่างไวรัส	น้ำหนักกระดาษ (140 เอส ทีด, นก.) จากการทดลองครั้งที่					
	1	2	3	4	5	รวม
ตัวอย่างที่						
1.	11.8	12.3	11.3	10.7	12.9	
2.	12.2	13.6	10.2	11.2	12.4	
3.			11.4	9.3	12.0	
4.			8.7	11.1		
5.				10.0		
6.				12.2		
ค่าเฉลี่ย	12.0	13.0	10.4	10.8	12.4	11.4
% SD	1.7	5.0	10.5	8.6	2.96	10.5
% Diff	3.3	10.0	26.0	26.9	7.2	43.0

ตารางที่ 6 พารามิเตอร์ของเครื่องวัดค่า 140 เอส ที่ใช้ในงานวิจัย

พารามิเตอร์ (Parameter, หน่วย) (ค่าพารามิเตอร์ที่กำหนดได้ในเครื่อง)	ค่าพารามิเตอร์ ปรกติที่ใช้จริง
1. เซนซิวิตี (Sensitivity), (0.002-2.0)	0.1
2. ความยาวเต็มท่อนของสเกล (Recorder full scale length, cm), (20.0)	20.0
3. ความยาวของส่วนที่แสงผ่านโฟลเซลล์ (Light path length of flow cell, cm), (1.0)	1.0
4. อัตราการไหลของตัวอย่าง (Flow rate, ml/min), (0.375-6.0)	0.75
5. ความเร็วของการหมุนของกราฟ (Chart speed, cm/hr), (0.6-1200)	60.0
6. ปริมาตรตัวอย่าง (Sample load volume, ml)	1.0

ตารางที่ 4: ความเที่ยงตรงของเครื่องวัด 140 เอส

อัตราการไหลของ ตัวอย่าง, มล/นาที	เวลา (นาที)	ปริมาตรที่ควร ได้จริง (มล)	ค่าเฉลี่ยของปริมาตรที่ ได้ 5 ครั้ง (X±SD)	% CoM
6.00	5	30.0	30.26±0.08	99.14
3.00	10	30.0	30.18±0.10	99.40
1.50	20	30.0	30.16±0.10	99.47
0.75	40	30.0	30.12±0.10	99.60
0.375	60	22.5	22.68±0.10	99.92

อัตราการหมุนของ กราฟ, ชม/ชม.	เวลา (นาที)	ความยาวที่ ควรได้ (มล)	ค่าเฉลี่ยของความยาวที่ ได้ 5 ครั้ง (X±SD)	% CoM
1200	0.5	10.0	12.52±0.08	79.9
600	1.0	10.0	10.02±0.03	99.8
300	1.0	5.0	5.01±0.03	99.8
120	5.0	10.0	9.99±0.01	100.1
60	10.0	10.0	10.03±0.02	99.7
30	10.0	5.0	4.98±0.01	100.4
12	20.0	4.0	3.99±0.01	100.3
6	60.0	6.0	6.04±0.04	99.3
3	120.0	6.0	5.98±0.02	100.3
1.2	180.0	3.6	3.58±0.02	100.6

ความเข้มข้นของ สารละลาย อะดรีนีน (µg/ml)	ค่าการดูดกลืนของแสงที่เซนซิวิตี					
	2.0	1.0	0.5	0.2	0.1	0.05
1. A1 7.14	0.44	0.44	0.410			
A2 5.71	0.36	0.36	0.355			
A3 4.29	0.27	0.26	0.260			
A4 2.86	0.18	0.18	0.173	0.172		
A5 1.43	0.09	0.08	0.083	0.081	0.081	
A6 0.71	0.05	0.04	0.040	0.039	0.039	0.040
A0 0.00	0.00	0.00	0.000	0.000	0.000	0.000

ความเข้มข้นของ สารละลาย อะดรีนีน (µg/ml)	ค่าการดูดกลืนของแสงที่เซนซิวิตี					
	2.0	1.0	0.5	0.2	0.1	0.05
3. A1 7.14	0.50	0.49	0.490			
A2 5.71	0.40	0.40	0.395			
A3 4.29	0.33	0.31	0.305			
A4 2.86	0.18	0.16	0.160			
A5 1.43	0.08	0.07	0.070	0.070	0.070	
A6 0.71	0.04	0.03	0.030	0.028	0.028	0.028
A0 0.00	0.00	0.00	-0.002	-0.003	-0.003	
r	0.996	0.996	0.996			

r	0.9999	0.9999	0.9983	0.9994	0.9998	
---	--------	--------	--------	--------	--------	--

2. A1 7.14	0.43	0.43	0.430			
A2 5.71	0.35	0.35	0.344			
A3 4.29	0.26	0.26	0.256			
A4 2.86	0.18	0.17	0.170	0.171		
A5 1.43	0.08	0.08	0.078	0.078	0.081	
A6 0.71	0.04	0.04	0.035	0.035	0.039	0.040
A0 0.00	0.00	0.00	0.000	0.000	0.000	0.000

r	0.9998	0.9997	0.9998	0.9984	0.9998	
---	--------	--------	--------	--------	--------	--

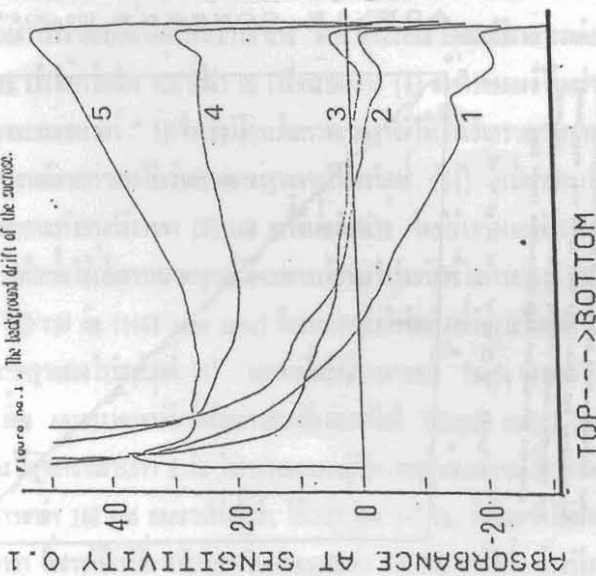


Figure no. 1. The background drift of the sucrose.

The number of the chart line corresponds to that of sucrose represented at table no. 2. The linear sucrose gradients were prepared to be 10-45% with use of different grades of sucrose. The gradient was fractionated from top to bottom and the absorbance was monitored under normal 1405 assay condition.

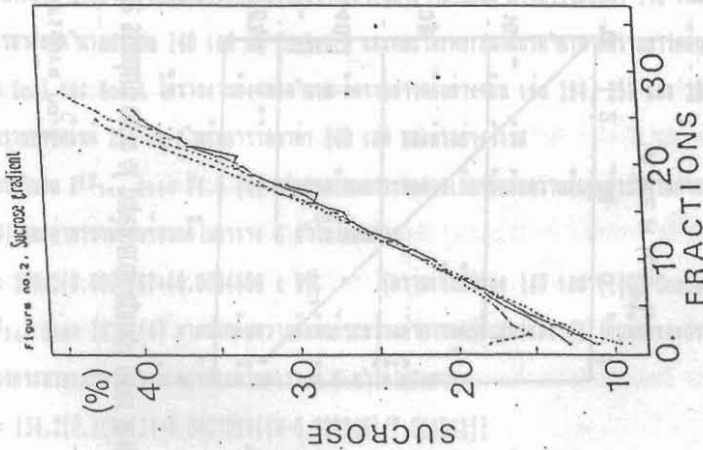


Figure no. 2. Sucrose gradient

Sucrose gradients (10-45%) were prepared by continuous gradient former (Sampateck Co. Ltd.). They were fractionated and measured refractive index value and then, calculated to sucrose concentration from a standard curve of sucrose concentration against refractive index value.

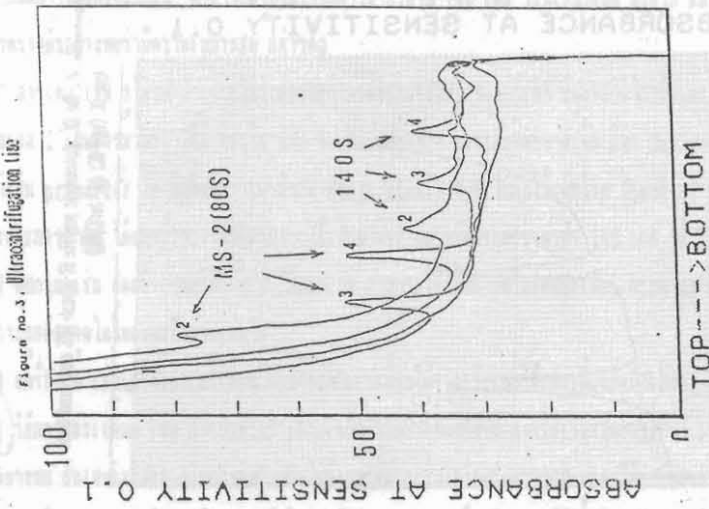


Figure no. 3. Ultracentrifugation line

Each number represents ultracentrifugation time: 1 hr.; 2: 2hrs.; 3: 3 hrs. and 4: 4 hrs. respectively. Each of 1 ml of type Asia-1 virus was loaded into 10-45% sucrose gradient with certain MS-2 phage fluid (2:1:1). The ultracentrifugation speed was set at 46,000 rpm (4°C). SW-4011 rotor was used.

สรุปและวิจารณ์

จากผลการทดลองทั้งหมดนี้ สามารถสรุปได้ว่าวิธีการหาปริมาณ 140 เอส วิธีนี้เป็นวิธีที่ดี สะดวก และได้มาตรฐาน เพราะเมื่อพิจารณาถึงปัจจัยทั้งหมดในการตรวจตัวอย่างพบว่ามีความเหมาะสม กล่าวคือ

1) สารเคมี เช่น ซูโครส สามารถให้ระดับแบคทีร่าที่เหมาะสม, ฟลอรินเทค มีคุณสมบัติไม่หนืดและไม่ละลายในน้ำ จึงสะดวกในการใช้ และโดยเฉพาะเอ็มเอส 2 เป็นสารมาตรฐานที่ดี คือเป็น RNA bacteriophage รูปทรงกลมขนาดเล็ก มีค่า Sedimentation coefficient เป็น 79-80S (5) จึงทำหน้าที่เป็น premarker ได้ อีกทั้งมีความคงตัวสูง (High stability) ไม่ก่อให้เกิดโรค (Lack of pathogenicity) มีโครงสร้างคล้ายคลึงกับ PMDV และประการสำคัญ ได้เคยมีรายงานว่าสามารถใช้เป็นมาตรฐานสำหรับการตรวจหาค่า 140 เอส ได้ (4)

2) อุปกรณ์ เช่น อุลตราเซนตริฟิวจ์ทิวป์ ไม่แตกง่าย สามารถใช้ได้หลายครั้งก่อนจะเสีย, กระดาษสำหรับถ่ายเอกสารจากที่ตัดได้ ให้ความหนักที่สม่ำเสมอไม่ว่าจะกดที่จุดใดในแผ่นหรือจากแผ่นใด

3) เครื่องมือ เช่น เครื่องทำเกรเดียน สามารถทำเกรเดียนได้รวดเร็วและได้เกรเดียนที่สม่ำเสมอ, เครื่องวัดค่า 140 เอส มีความเที่ยงตรงดีมาก

4) วิธีการและเทคนิค เช่น การปั่นตัวอย่างด้วยเครื่องอูลตราเซนตริฟิวจ์ หากใช้เวลาในการปั่น 3.5 ชม. และใช้ปริมาณตัวอย่าง 1 มล. จะได้ผลที่มีความเหมาะสม ชัดเจนและสะดวกในการวัด, การให้ตัวอย่างผ่านเข้าเครื่องวัดค่า 140 เอส ใช้ระบบการวัดจากปลายถึงก้นทิวป์ ซึ่งสะดวกและประหยัด, การเคลือบเบรท เนื่องจากมีการเคลือบเบรทมีความสำคัญในการวัดค่า 140 เอส เป็นอย่างมาก ดังนั้นหากทำการหาค่าเฉลี่ยจากการทดสอบตัวอย่างละ 2 ครั้ง จะมีความเที่ยงตรงประมาณ ±10% ซึ่งเมื่อเปรียบเทียบกับข้อมูลจากสถาบันต่างๆ ในโลกที่ทำการตรวจสอบค่า 140 เอส (4) เห็นได้ว่ามีความเที่ยงตรงดี

สำหรับการหาสูตรคำนวณปริมาณ 140 เอส นั้น Bachrach และคณะได้เคยเสนอสูตรคำนวณ ที่ความยาวคลื่น 259 nm ไว้เมื่อปี ค.ศ. 1964 ต่อมาในปี ค.ศ. 1985 Doel และ Kowat ได้รายงานถึงสูตรคำนวณ ที่ความยาวคลื่นต่างๆ กัน เช่น 254, 259 และ 260 nm เป็นต้น เพื่อความสะดวกในการวิจัยนี้ได้เลือกใช้ความยาวคลื่นที่ 254 nm สำหรับการวัดค่า 140 เอส ของตัวอย่างไวรัส

เมื่อหาสูตรคำนวณ $E^{1\%}_{1cm}$ 254 = 74.5 (4) มาผูกกับผลการทดลองเกี่ยวกับความสัมพันธ์ระหว่างค่าการดูดกลืนของแสง (D') กับน้ำหนักของกระดาษ (mg, W) และค่าพารามิเตอร์ปกติในตาราง 6 ทำให้ได้สมการ

$$Z = 134.2(0.0004767W + (0.0004808 \times W)) \quad \text{[ความเข้มข้นของ 140 เอส (140S Concentration, } \mu\text{g/ml)} = Z]$$

หรือจากสูตร $E^{1\%}_{1cm}$ 254 = 74.5 (4) มาผูกกับความสัมพันธ์ระหว่างค่าการดูดกลืนของแสง (D') กับพื้นที่ของกระดาษ, ความสัมพันธ์ระหว่างน้ำหนักของกระดาษกับพื้นที่ของกระดาษและค่าพารามิเตอร์ปกติในตารางที่ 6 ทำให้ได้สมการ

$$Z = 134.2[0.0006124 + 0.0037094\{(W - 0.282206) / 7.714842\}]$$

การหาปริมาณ 140 เอส สามารถคำนวณได้จากสูตรทั้งสอง เมื่อใช้ค่าพารามิเตอร์ปกติ ซึ่งจะให้ผลใกล้เคียงกันมาก

เส้นกราฟมาตรฐานของสารละลายอะซีดินไดออกไซด์ใช้ในการคำนวณ ด้วยเหตุที่อะซีดิน มีคุณสมบัติเหมาะสมคือมีความคงตัวสูง และเมื่อเปลี่ยนแปลงความยาวคลื่นระหว่าง 240-260 nm แม้เพียงเล็กน้อย จะทำให้ค่า OD เปลี่ยนแปลงมาก (4) ผลการทดลองที่ได้พบว่าค่าพื้นที่ 140 เอส พิก โกลใกล้เคียงกับค่าทางทฤษฎีเป็นอย่างมาก (ค่าคอมเพนเซชันฟาคเตอร์ ~ 1) จึงเชื่อได้ว่าเส้นกราฟมาตรฐานที่ได้เป็นเส้นกราฟมาตรฐานจริง ซึ่งสอดคล้องกับเหตุผลที่ว่าการใช้เส้นกราฟมาตรฐานอะซีดินในการคำนวณดีกว่าการใช้เส้นกราฟมาตรฐานจากไวรัสบริสุทธิ์ (4) เมื่อเปรียบเทียบกับรายงานในประเทศไทยของ Shirai และคณะ (1990) ซึ่งได้เคยพยายามปรับปรังวิธีการหา 140 เอส พาร์ทีเคิลดังกล่าว โดยใช้เครื่องคอมพิวเตอร์เข้ามาช่วยในการวิเคราะห์หาปริมาณ 140 เอส ด้วยวิธีโครสเกรเดียน พร้อมทั้งใช้เส้นกราฟมาตรฐานที่ได้จากการเจือจางไวรัสบริสุทธิ์ในการคำนวณ (9) แต่เมื่อใช้เครื่องคอมพิวเตอร์แล้วพบความยากลำบากในการหาพื้นที่ของ 140 เอส พิก (140S peak area) อีกประการหนึ่งไวรัสบริสุทธิ์มีความไม่คงตัว ทำให้ค่าพื้นที่ดังกล่าวจะสูงเกินกว่าความเป็นจริงเมื่อดำเนินการเส้นกราฟมาตรฐานของไวรัสบริสุทธิ์ (4) นอกจากนี้ยังมีรายงานของ Tsuda และคณะ (1987) ซึ่งได้เคยทำการแยก 140 เอส พาร์ทีเคิล ด้วยวิธีโครสเกรเดียน และตรวจหาพาร์ทีเคิลดังกล่าวด้วยวิธีเอสอาร์ไอดี (Single radial immunodiffusion, SRID) พบว่าต้องใช้มีประสพการณ์ในการอ่านผล และใช้เวลานานมากกว่า 2 วัน ในการผลของปฏิกิริยาระหว่างแอนติเจน กับ สเปซิฟิคแอนติบอดี (Specific antiserum) (10) ซึ่งเมื่อเปรียบเทียบกับวิธีการหาค่า 140 เอส ของงานวิจัยแล้ว ใช้เวลาเพียง 5-7 ชม. ซึ่งน้อยกว่าวิธีดังกล่าว

จากเหตุผลต่างๆ ที่กล่าวมา จึงสรุปได้ว่าวิธีการที่ปรับปรุงขึ้นเพื่อตรวจหาค่า 140 เอส พาร์ทีเคิล ด้วยวิธีโครสเกรเดียน โดยการใช้อุปกรณ์-โมนิเตอร์ (UV-Monitor) ร่วมกับสารมาตรฐานเอ็มเอส 2 (MS2 ribophage standard) ในการตรวจ และใช้เส้นกราฟมาตรฐานของสารละลายอะซีดิน

(Adenine solution) ในการคำนวณ เป็นวิธีที่ สะดวก และได้มาตรฐานเหมาะสม สำหรับงานประจำและงานวิจัย และเป็นแนวทางที่ดีในการปรับปรุงประสิทธิภาพการผลิตขึ้นต่อไป

กิตติกรรมประกาศ

ขอขอบคุณ Dr. Toru Inoue และ ดร. พิจิตร มกรเสน ที่ช่วยเป็นที่ปรึกษาและสนับสนุนการวิจัยนี้ให้สำเร็จลงไปด้วยดี

เอกสารอ้างอิง

1. Bachrach, H.L., Trautman, R., Breese, S.S. 1964. Chemical and Physical Properties of Virtually Pure Foot-and-Mouth Disease Virus. *Am. J. Vet. Res.* 25: pp 333-342.
2. Barteling, S.J. and Moloen, R.H. 1974. A Simple Method for the Quantification of 140S Particles of Foot-and-Mouth Disease Virus (FMDV). 45: pp 362-364.
3. Brown, F. and Newman, J.P.E. 1963. In Vitro Measurement of the Potency of Inactivated Foot-and-Mouth Disease Vaccine. *J. Hyg.* 61: pp 345-351.
4. Doel, T.R. and Mowat, G.N. 1985. An International Collaborative Study on Foot and Mouth Disease Virus Assay Methods. 2. Quantification of 146S Particles. 13: pp 335-344.
5. Fiers, W. 1979. *Comprehensive Virology. Structure and Function of RNA Bacteriophages.* 13: pp 69-204.
6. Instruction Manual of Density Gradient Fractionator Model 185, ISCO Inc., U.S.A., 4 p.
7. Maniatis, T., Fritsch, E.F. and Sambrook, J. 1982. *Molecular Cloning. A Laboratory Manual.* pp 55-73.
8. Rweyemamu, M.M., Black, L., Boge, A., Thorne, A.C. and Terry, G. M. 1984. The Relationship between the 140S Antigen Dose in Aqueous Foot-and-Mouth Disease Vaccines and the Serum Antibody Response of Cattle. *J. Bio. Std.* 12: pp 111-120.
9. Shirai, J., Chatchawanchonteeera, A., Sinsuwongwat, W., Makarasen, P. and Sugimura, T. 1990. Estimation of 140S Particles in Foot-and-Mouth Disease Virus (FMDV) Vaccine by Using the Computer Analyzing System. *Jpn. J. Vet. Sci.* 52(3): pp 621-630.
10. Tsuda, T., Namba, K., Yamasaki, Y., Nilchavee, S., Pattanaprasit, N., Linchongsungkoch, W. and Onodera, T. 1987. Quantitative Single Radial Immunodiffusion of Foot-and-Mouth Disease Viral Antigens Using Convalescent Cattle Sera. *Jpn. J. Vet. Sci.* 49(3): pp 461-468.
11. Wild, T.F. and Brown, F. 1968. A Study of the Physical Properties of the Immunising Antigen of Foot-and-Mouth Disease Virus and the Effect of Various Inactivating Agents on Its Structure. *Arch. Gesamte Virusforsch.* 24: pp 86-103.